

Signál je časovo premenná fyzikálna veličina, ktorá zobrazuje správu

Správa je informácia ktorú potrebujeme doručiť z miesta vzniku na miesto určenia

Správa obsahuje informácie nové pre užívateľa, ale aj nadbytočné t.j. redundantné

Správu potrebujeme premeniť na vhodný signál, ktorý nám umožní jeho prenos

Signál môže byť :

- elektrický (napätie, prúd, výkon),
- optický,
- akustický
- EMG a pod.

Najpoužívanejšie médium je signál elektrický

Signál, ktorý môžeme opísať analytickou funkciou času, nazývame **regulárny**, alebo **deterministický**, jeho informačný obsah je nulový. Regulárny signál je abstrakciou skutočných signálov

Reálne **signály**, ktoré majú istý informačný obsah sú **nedeterministické- náhodné- stochastické**

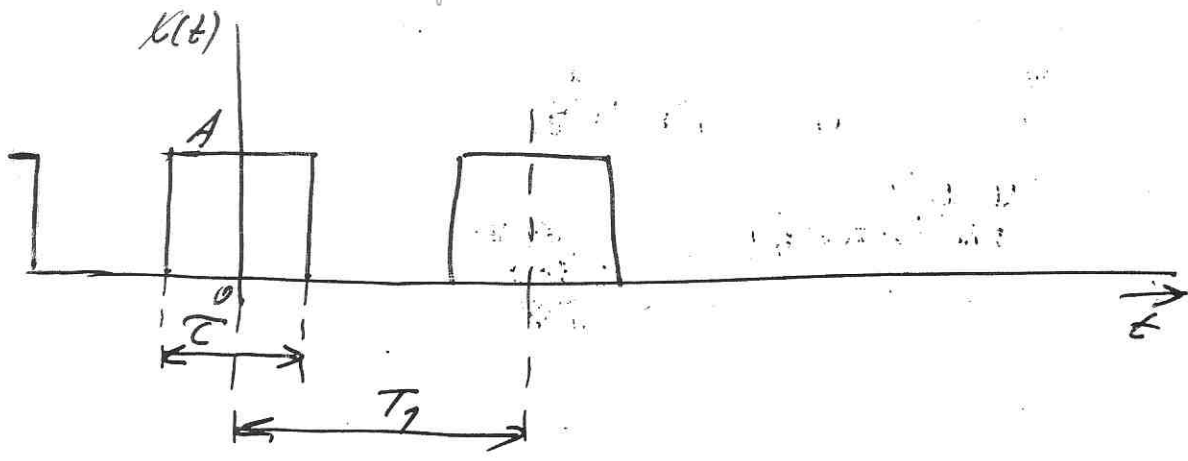
Teória signálov

Teória prenosu

Teória informácií

	Vektorový tvar	Trigonom. tvar	Zložený tvar
	$ C_n , \arg C_n$	A_n, φ_n	a_n, b_n
$ C_n $ $\arg C_n$	—	$A_0 = C_0$ $A_n = 2 C_n $ $\varphi_n = \arg C_n$	$a_0 = C_0$ $a_n = 2\operatorname{Re}[C_n]$ $b_n = -2\operatorname{Im}[C_n]$
A_n φ_n	$C_0 = A_0$ $ C_n = \frac{1}{2}A_n$ $\arg C_n = \varphi_n$	—	$a_0 = A_0$ $a_n = A_n \cos \varphi_n$ $b_n = -A_n \sin \varphi_n$
a_n b_n	$C_0 = a_0$ $C_n = \frac{1}{2}a_n - j\frac{1}{2}b_n =$ $= \frac{1}{2}\sqrt{a_n^2 + b_n^2}$ $\cos \varphi_n = \frac{a_n}{2 C_n }$ $\sin \varphi_n = \frac{-b_n}{2 C_n }$	$A_0 = a_0$ $A_n = \sqrt{a_n^2 + b_n^2}$ $\cos \varphi_n = \frac{a_n}{A_n}$ $\sin \varphi_n = \frac{-b_n}{A_n}$	—

Pr. harmon. signal:



$$x(t) = \sum_{n=-\infty}^{\infty} C_n e^{jn\omega_1 t} \quad n=0; \pm 1; \pm 2 \dots$$

$$C_n = \frac{1}{T_1} \int_0^{T_1} x(t) e^{-jn\omega_1 t} dt = \frac{A}{T_1} \int_{-\tau/2}^{\tau/2} e^{-jn\omega_1 t} dt =$$

$$= \frac{A}{T_1} \cdot \frac{1}{-jn\omega_1} \left[e^{-jn\omega_1 t} \right]_{-\tau/2}^{\tau/2} = \frac{A}{T_1} \cdot \frac{\tau}{-jn\omega_1} \cdot (-2j) \sin n\omega_1 \frac{\tau}{2} =$$

$$= \frac{A\tau}{T_1} \frac{\sin n\omega_1 \frac{\tau}{2}}{n\omega_1 \frac{\tau}{2}} = \frac{A\tau}{T_1} \text{sinc} \left(n\pi \frac{\tau}{T_1} \right)$$

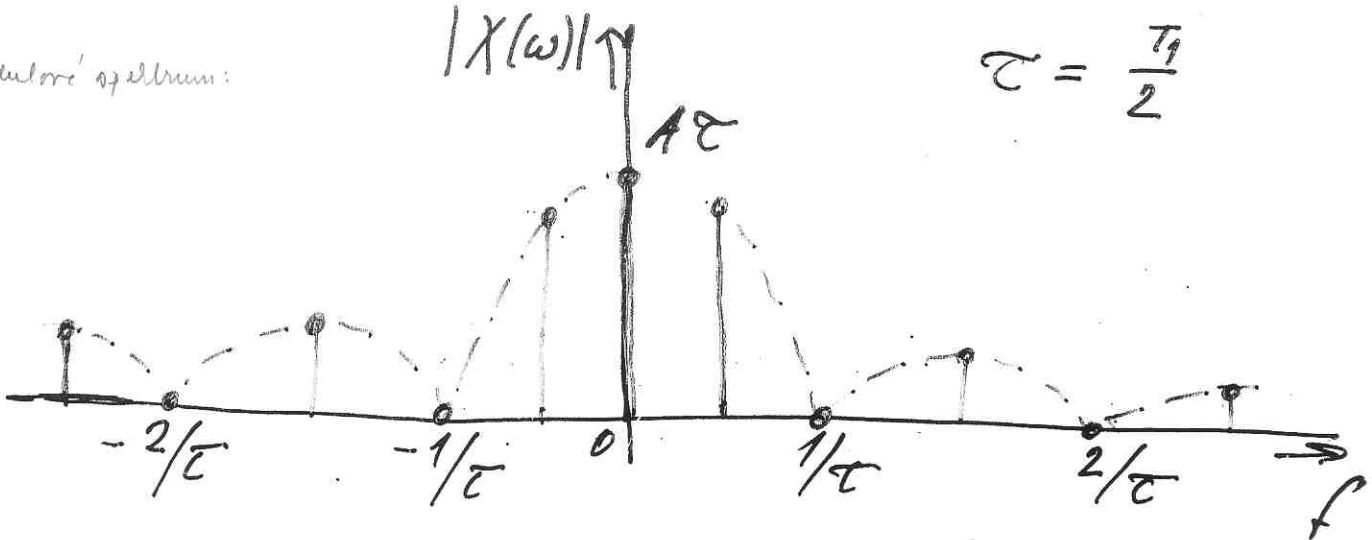
Pozn.:

$$e^{-ix} + e^{ix} = \cos x - j \sin x + \cos x + j \sin x = 2 \cos x = 2j \sin x$$

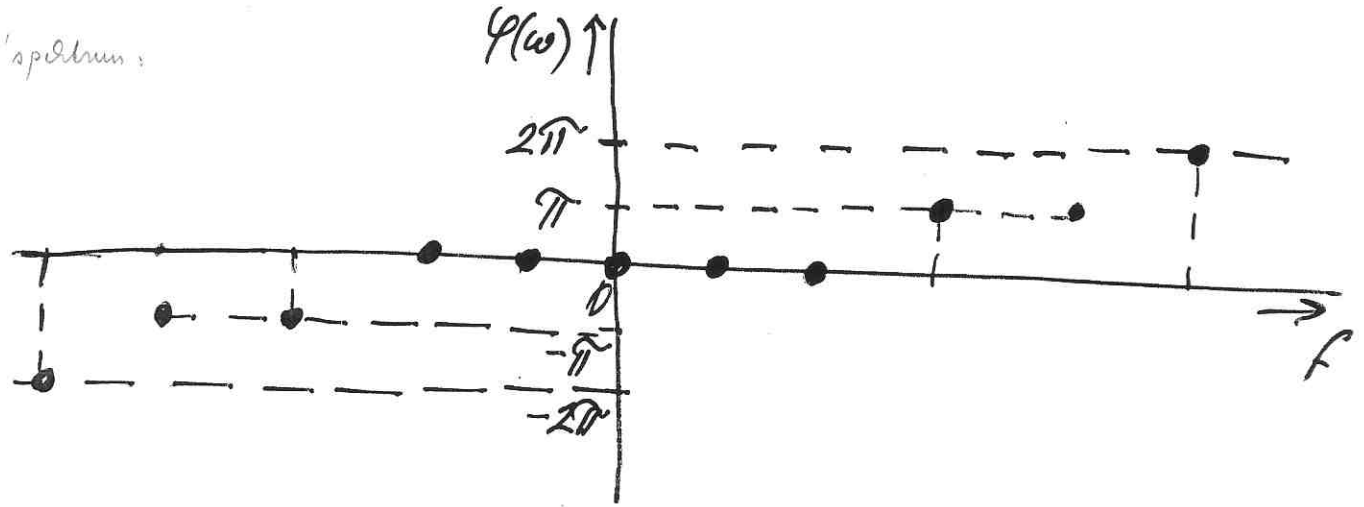
$$\omega_1 = \frac{2\pi}{T_1}$$

modulor' spektrum:

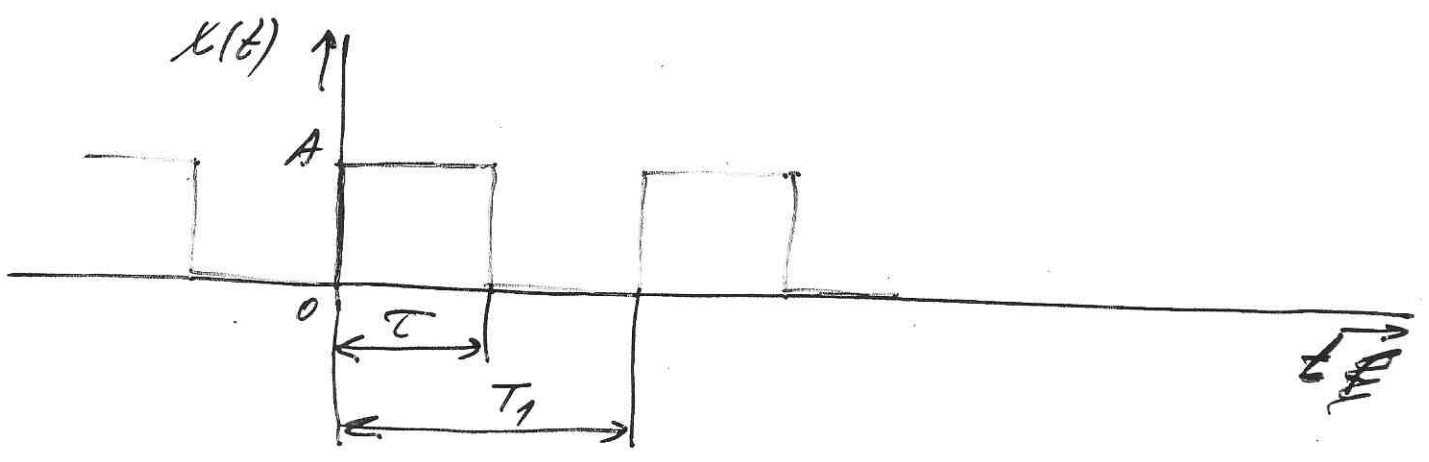
$$\tau = \frac{T_1}{2}$$



fazora' spektrum:



Pr. 2



[Prilup ku Pr2]

? overit postup!

6

$$x(t) = \sum_{n=-\infty}^{\infty} C_n e^{jn\omega_1 t}$$

$$C_n = \frac{1}{T_1} A \int_0^{\tau} e^{-jn\omega_1 t} dt =$$

$$= \frac{A}{T_1} \cdot \frac{1}{-jn\omega_1} \left[e^{-jn\omega_1 t} \right]_0^{\tau} =$$

$$= \frac{A}{T_1} \cdot \frac{1}{-jn\omega_1} \left(e^{-jn\omega_1 \tau} - 1 \right) =$$

$$= \frac{A}{T_1} \cdot \frac{e^{-jn\omega_1 \frac{\tau}{2}}}{-jn\omega_1} \left(e^{-jn\omega_1 \frac{\tau}{2}} - e^{jn\omega_1 \frac{\tau}{2}} \right) =$$

$$= \frac{A}{T_1} \cdot \frac{\tau}{2} \cdot \frac{e^{-jn\omega_1 \frac{\tau}{2}}}{-jn\omega_1 \frac{\tau}{2}} \cdot (-2j) \sin n\omega_1 \frac{\tau}{2} =$$

$$= \frac{A\tau}{T_1} \cdot e^{-jn\omega_1 \frac{\tau}{2}} \cdot \text{Si} \left(n\pi \frac{\tau}{T_1} \right)$$

Handwritten signature

em faktor spektruma je zraunski
opredeljen na Pr.1

Delemie signálov

- a) Spojité:
 - periodické
 - neperiodické

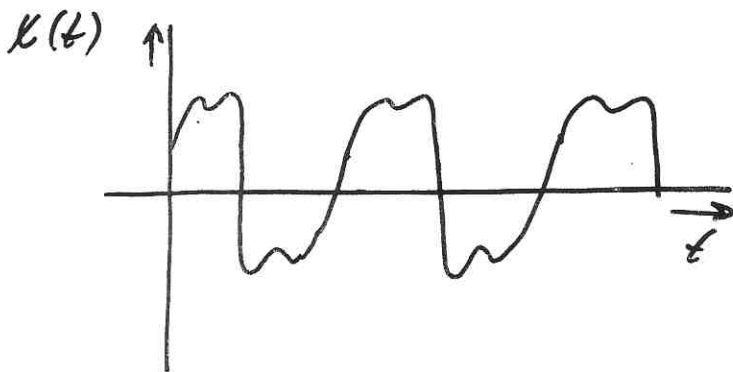
- b) Diskrétné:
 - periodické
 - neperiodické

Spojité - periodické

Fourierov rad

$$x(t) = \sum_{n=-\infty}^{\infty} C_n e^{jn\omega_0 t}$$

$$C_n = \frac{1}{T_0} \int_0^{T_0} x(t) e^{-jn\omega_0 t} dt$$



(4)

Spojité - neperiodické

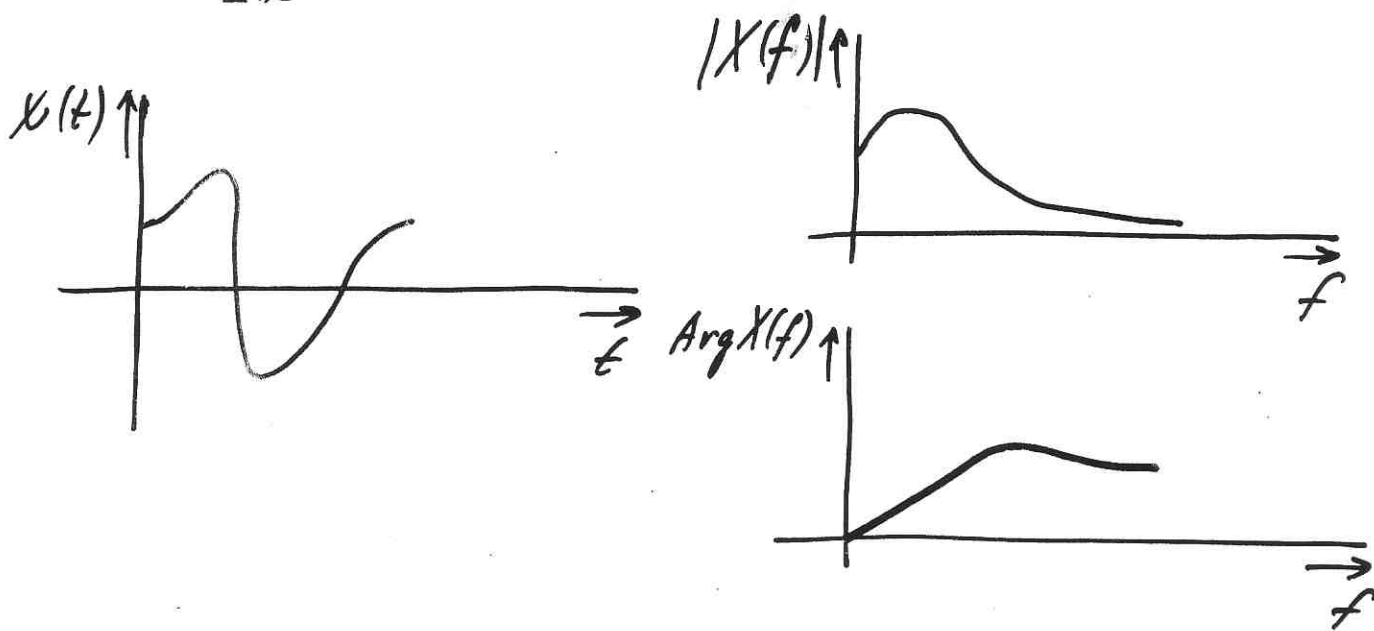
$$x(t) \xrightarrow{FT} X(\omega)$$

priama FT:

$$x(t) = \frac{1}{2\pi} \int_{-\infty}^{\infty} X(\omega) e^{j\omega t} d\omega; \quad x(t) = \mathcal{F}^{-1}\{X(\omega)\}$$

spätná FT:

$$X(\omega) = \int_{-\infty}^{\infty} x(t) e^{-j\omega t} dt; \quad X(\omega) = \mathcal{F}\{x(t)\}$$



2. Periodické signály

Periodický signál je deterministický, t.j. regulárny signál, ktorého časový priebeh sa pravidelne opakuje s periódou T . Všeobecne ho môžeme opísať funkciou

$$s(t) = s(t \pm kT) \quad (2.1)$$

kde k je reálne číslo.

O harmonickom signále predpokladáme, že existuje v čase $-\infty < t < \infty$. Reálne signály majú však vždy začiatok a koniec. Za harmonický signál budeme považovať taký signál pre ktorý vzťah (2.1) platí v dostatočne veľkom časovom intervale (pre dostatočne veľkú hodnotu k).

Najjednoduchším periodickým signálom je harmonický (sínusový, kosínusový) signál, ktorý môžeme vyjadriť v tvare

$$s(t) = S \cos(\omega t + \psi) \quad (2.2)$$

kde S je počiatková amplitúda signálu (pre $t = \psi = 0$),
 $\omega = 2\pi f = 2\pi/T$ - uhlový kmitočet, frekvencia
 $-\psi$ uhol určujúci počiatkovú fázu (pre $t = 0$).

Vzťah (2.2) môžeme vyjadriť pomocou Eulerovho vzťahu v tvare

$$s(t) = \operatorname{Re} S e^{j(\omega t + \psi)} = \operatorname{Re} \dot{S} e^{j\omega t} \quad (2.3)$$

kde $\dot{S} = S e^{j\psi}$ je tzv. komplexná amplitúda.

Podľa vzťahu (2.3) môžeme harmonický signál zobraziť v komplexnej rovine ako vektor \dot{S} , ktorý sa otáča okolo počiatku uhlovou rýchlosťou ω v smere proti pohybu hodinových ručičiek, ako to vidieť na obr. 2a. Okamžitú hodnotu signálu $s(t)$ dostaneme ako priemet vektora \dot{S} do reálnej osi.

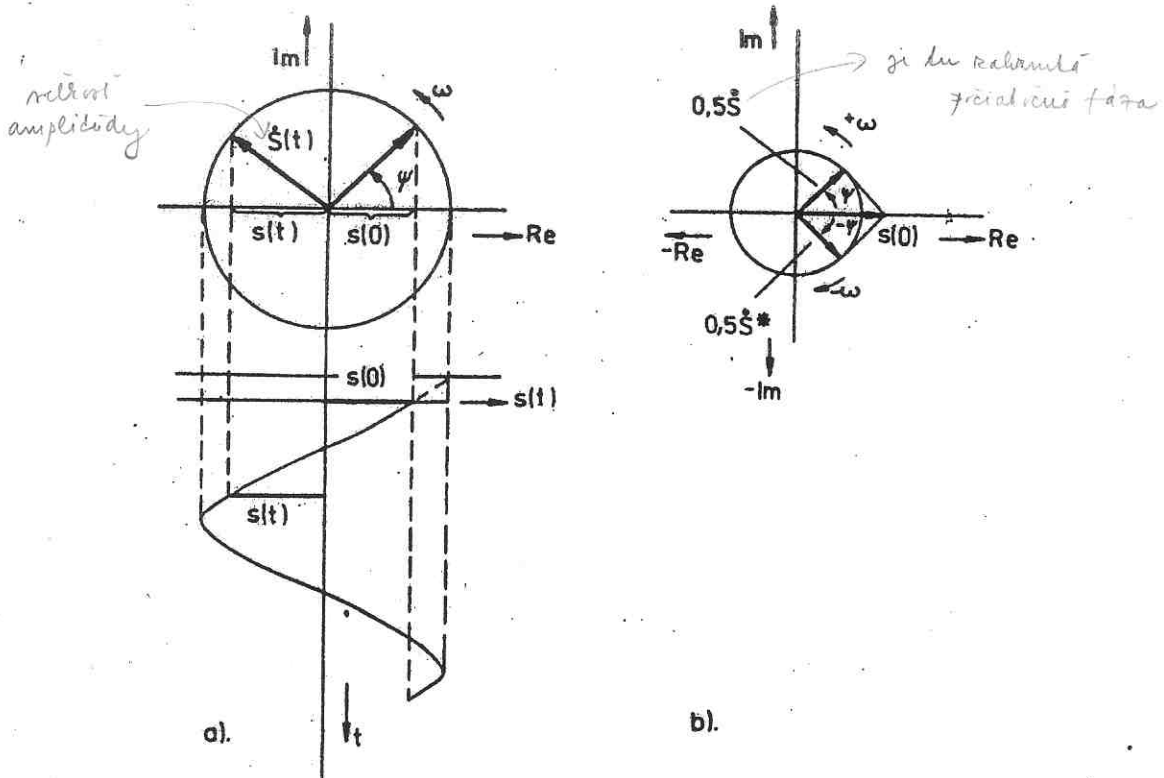
Harmonický signál vo vzťahu (2.2) môžeme vyjadriť aj v tvare

$$\begin{aligned} s(t) &= \frac{1}{2} S e^{j(\omega t + \psi)} + \frac{1}{2} S e^{-j(\omega t + \psi)} = 0,5 \dot{S} e^{j\omega t} + 0,5 \dot{S} e^{-j\omega t} = \\ &= \frac{1}{2} S \cos(\omega t + \psi) + j \frac{1}{2} S \sin(\omega t + \psi) \\ &\quad + \frac{1}{2} S \cos(-\omega t - \psi) + j \frac{1}{2} S \sin(-\omega t - \psi) = \\ &= S \cos(\omega t + \psi) \end{aligned} \quad (2.4)$$

Zo vzťahu (2.4) vyplýva ďalší spôsob zobrazenia harmonického signálu v komplexnej rovine, ako súčet dvoch vektorov veľkosti $0,5 S$ s počiatkovými fá-

$$\dot{S} = S e^{j\psi}$$

zami $+\psi$ a $-\psi$, rotujúcimi proti sebe uhlovými rýchlosťami, ako je to na obr. 2b.



Obr. 2
Zobrazenie harmonického signálu rotujúcimi vektormi v komplexnej rovine

2.1 FOURIEROVE RADY

Každú periodickú funkciu $s(t)$, ktorá vyhovuje Dirichletovým podmienkam, môžeme rozložiť do Fourierovho radu.

Dirichletové podmienky:

- interval, na ktorom je definovaná funkcia $s(t)$, môžeme rozdeliť na konečný počet intervalov, na ktorých je funkcia $s(t)$ spojitá, t.j. existuje integrál

$$\int_{-\tau/2}^{\tau/2} |s(t)| dt < \infty$$

- v každom bode nespojitosti existuje hodnota limity funkcie sprava $s(t + 0)$ a hodnota limity funkcie zľava $s(t - 0)$, pričom v bode nespojitosti je hodnota funkcie daná vzťahom

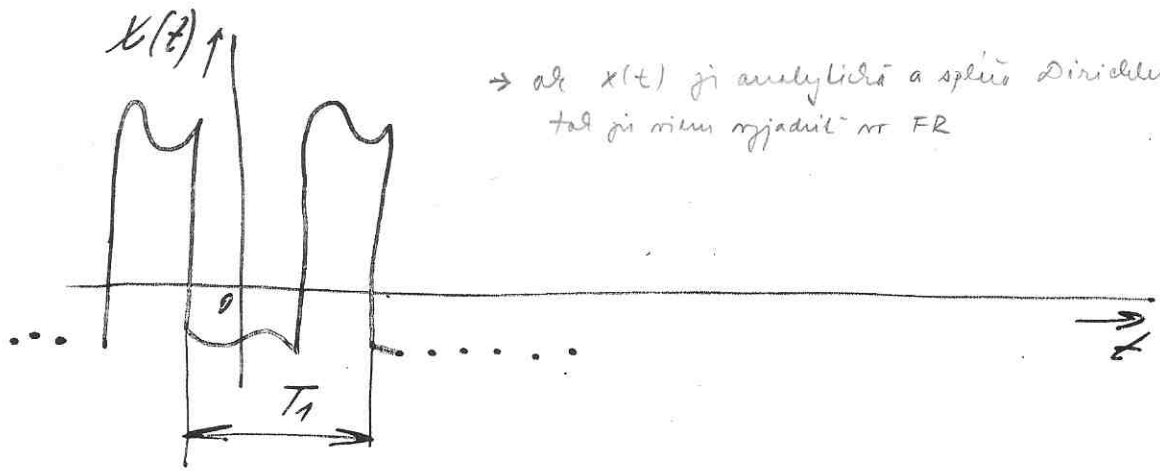
$$\frac{s(t + 0) + s(t - 0)}{2}$$

2

aritmetický
priemer

1

PERIODICKÉ SIGNALY



→ ak $x(t)$ je analytická a splní Dirichletove podmienky, tak ju môžeme vyjadriť vo FR

Dirichletove podmienky

Fourierov rad (zložený tvar)

$$x(t) = a_0 + \sum_{n=1}^{\infty} (a_n \cos n\omega_1 t + b_n \sin n\omega_1 t)$$

jednosmerné
odpoveď

$$a_0 = \frac{1}{T_1} \int_{-T_1/2}^{T_1/2} x(t) dt$$

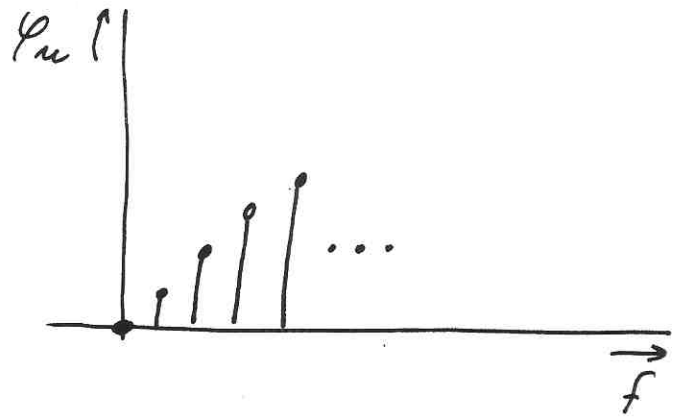
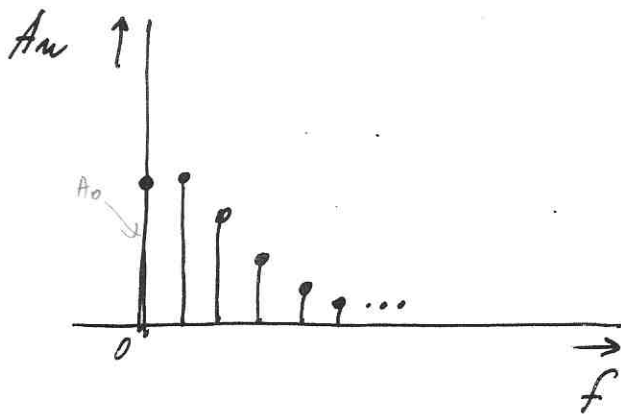
$$a_n = \frac{2}{T_1} \int_{-T_1/2}^{T_1/2} x(t) \cos n\omega_1 t dt$$

$$b_n = \frac{2}{T_1} \int_{-T_1/2}^{T_1/2} x(t) \sin n\omega_1 t dt$$

Reálny tvar = trigonim. tvar

trigon.

$$x(t) = A_0 + \sum_{m=1}^{\infty} A_m \cos(m\omega_1 t + \varphi_m)$$



časová funkcia $x(t)$ sa dá vyjadriť aj aj

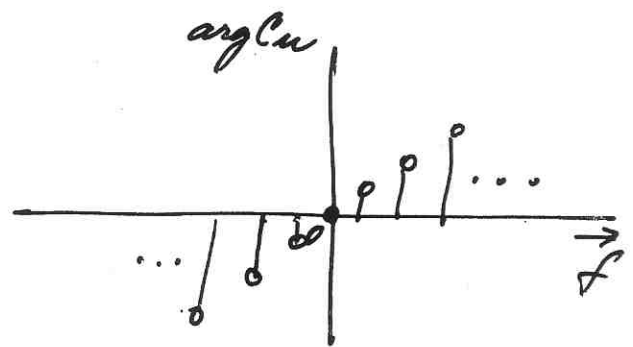
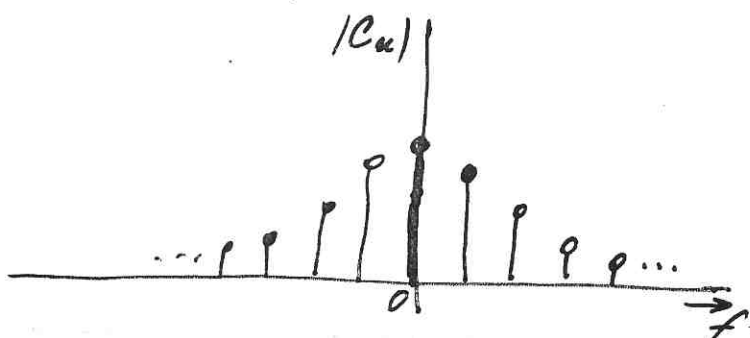
Exponenciálny tvar

vekt.

$$x(t) = A_0 + \sum_{m=1}^{\infty} \left\{ C_m e^{j m \omega_1 t} + C_m^* e^{-j m \omega_1 t} \right\} = \sum_{n=-\infty}^{\infty} C_n e^{j n \omega_1 t}$$

$\begin{matrix} C_0 \\ \parallel \\ m=1 \end{matrix}$

$$C_m = \frac{1}{T_1} \int_{-T_1/2}^{T_1/2} x(t) e^{-j m \omega_1 t} dt$$



[frekvencný spektrum]

$$x(t) = a_0 + \sum_{n=1}^{\infty} (a_n \cos n\omega t + b_n \sin n\omega t)$$

$$= A_0 + \sum_{n=1}^{\infty} A_n \cos(n\omega t + \varphi_n) \quad (1)$$

$$A_n = \sqrt{a_n^2 + b_n^2}; \quad \cos \varphi_n = \frac{a_n}{A_n}; \quad \sin \varphi_n = -\frac{b_n}{a_n}$$

Eulerov vzťah

$$\cos(n\omega t + \varphi_n) = \frac{1}{2} [e^{j(n\omega t + \varphi_n)} + e^{-j(n\omega t + \varphi_n)}] \quad (2)$$

dosadením (2) → (1), rozšírením $n \in (-\infty, \infty)$,

$$x(t) = \sum_{n=-\infty}^{\infty} C_n e^{jn\omega t}$$

$$\text{kde } C_n = C_n e^{-j\varphi_n} = \sqrt{a_n^2 + b_n^2} (\cos \varphi_n + j \sin \varphi_n) \\ = A_n + j B_n =$$

$$= \frac{1}{T} \int_{-\frac{T}{2}}^{\frac{T}{2}} [x(t) \cos n\omega t + j x(t) \sin n\omega t] dt =$$

$$= \frac{1}{T} \int_{-\frac{T}{2}}^{\frac{T}{2}} x(t) e^{-jn\omega t} dt = C_n$$

NÁZOV:

PREDMET:

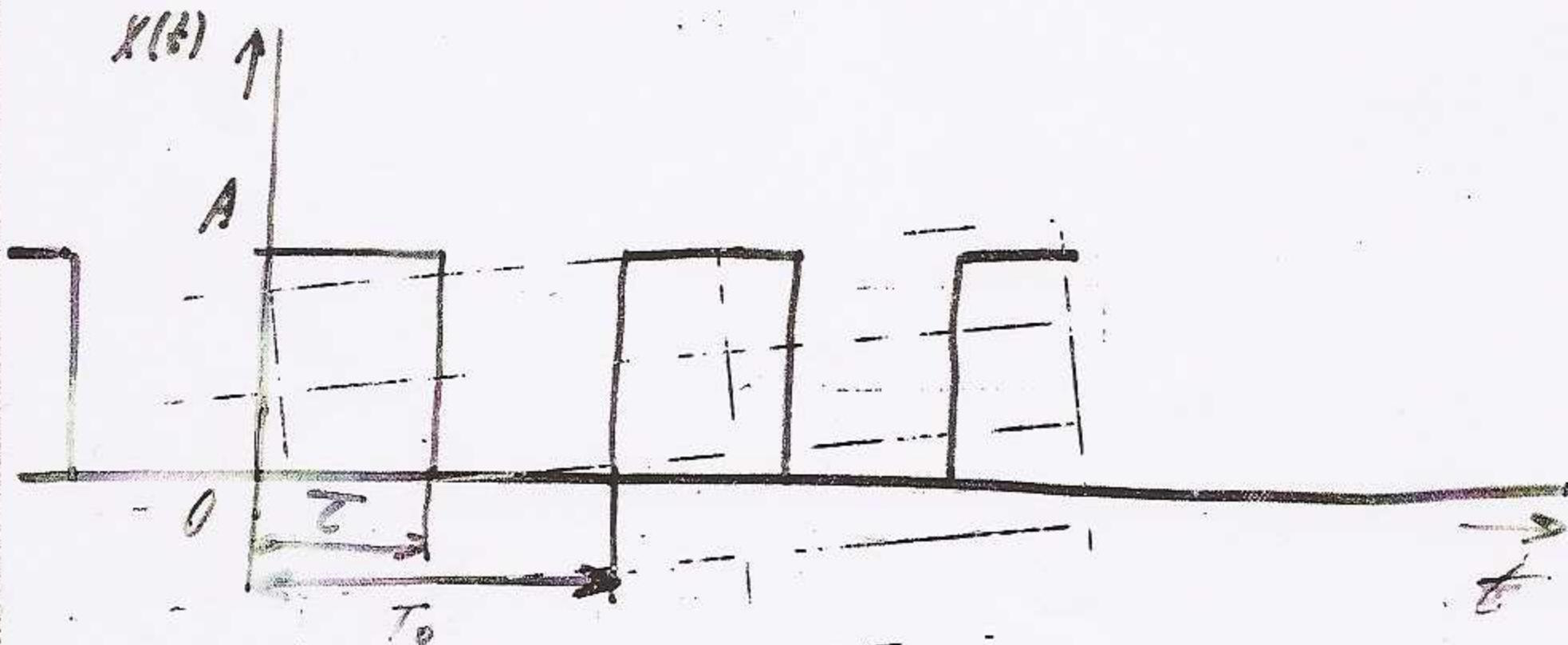
ROČNÍK:

ČÍSLO:

ČÍSLO ZLOŽKY

			1
--	--	--	---

Pr. 2



$$\tau = T_0/2$$

$$x(t) = \begin{cases} A & \text{pre } t \in (0 + nT_0; \frac{T_0}{2} + nT_0) \\ 0 & \text{pre } t \notin \dots \end{cases}$$

pre $n = 0; \pm 1; \pm 2; \dots$

$$a_0 = \frac{1}{T_0} \int_{-T_0/2}^{T_0/2} A dt = \frac{A}{2}$$

$T_0 = \text{arbitrárny číslo}$

$$a_n = \frac{2}{T_0} \int_0^{T_0/2} A \cos n\omega t dt = \frac{2A}{T_0 n \omega} [\sin n\omega t]_0^{T_0/2} = 0$$

NÁZOV:

PREDMET:

$$\omega_0 = \frac{2\pi}{T_0}$$

ROČNÍK:

701A.

ČÍSLO:

ČÍSLO ZLOŽKY

			2
--	--	--	---

$$b_n = \frac{2}{T_0} \int_0^{T_0/2} A \sin n \omega_0 t dt = \frac{-2A}{T_0 n \omega_0} [\cos n\pi - \cos 0] = *$$

$$= \frac{A}{n\pi} (1 - \cos n\pi) = \frac{A}{n\pi} [1 - (-1)^n]$$

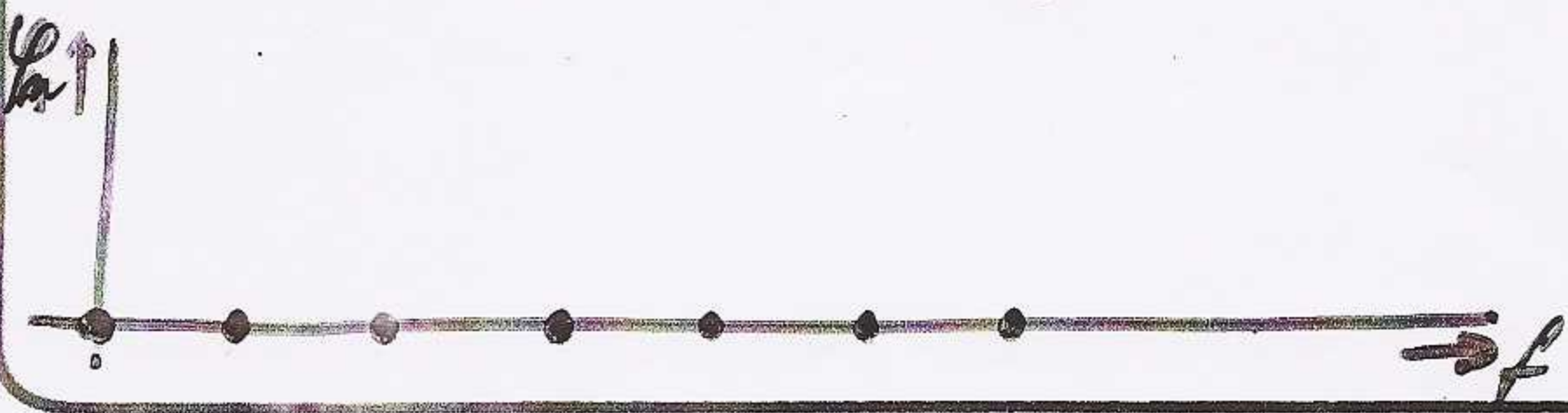
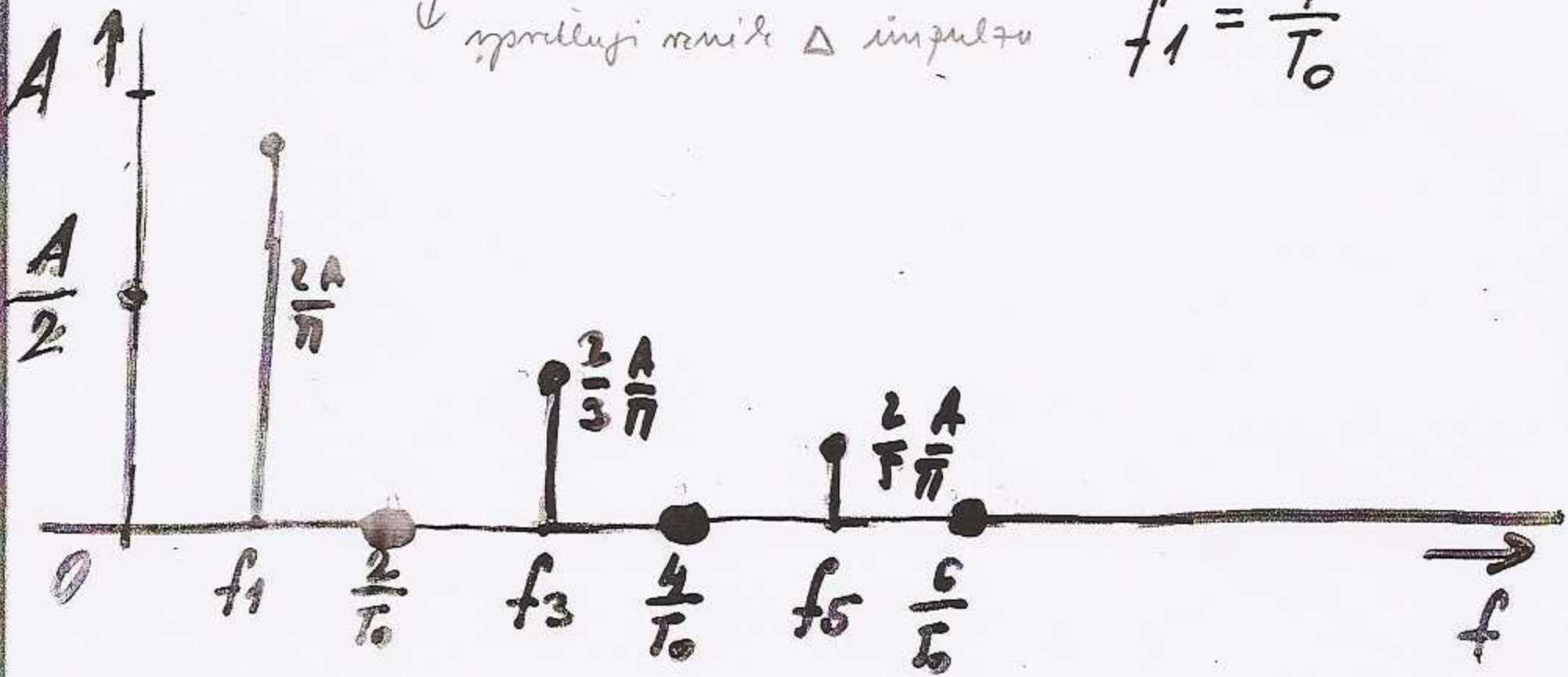
$$x(t) = \frac{A}{2} + \sum_{n=1}^{\infty} \frac{A}{n\pi} [1 - (-1)^n] \sin n \omega_0 t =$$

sym. složka

nepárne harmonické

$$= \frac{A}{2} + \frac{2A}{\pi} \left(\sin \omega_0 t + \frac{1}{3} \sin 3\omega_0 t + \frac{1}{5} \sin 5\omega_0 t + \dots \right)$$

↑ správně není Δ impulzu $f_1 = \frac{1}{T_0}$



NÁZOV:

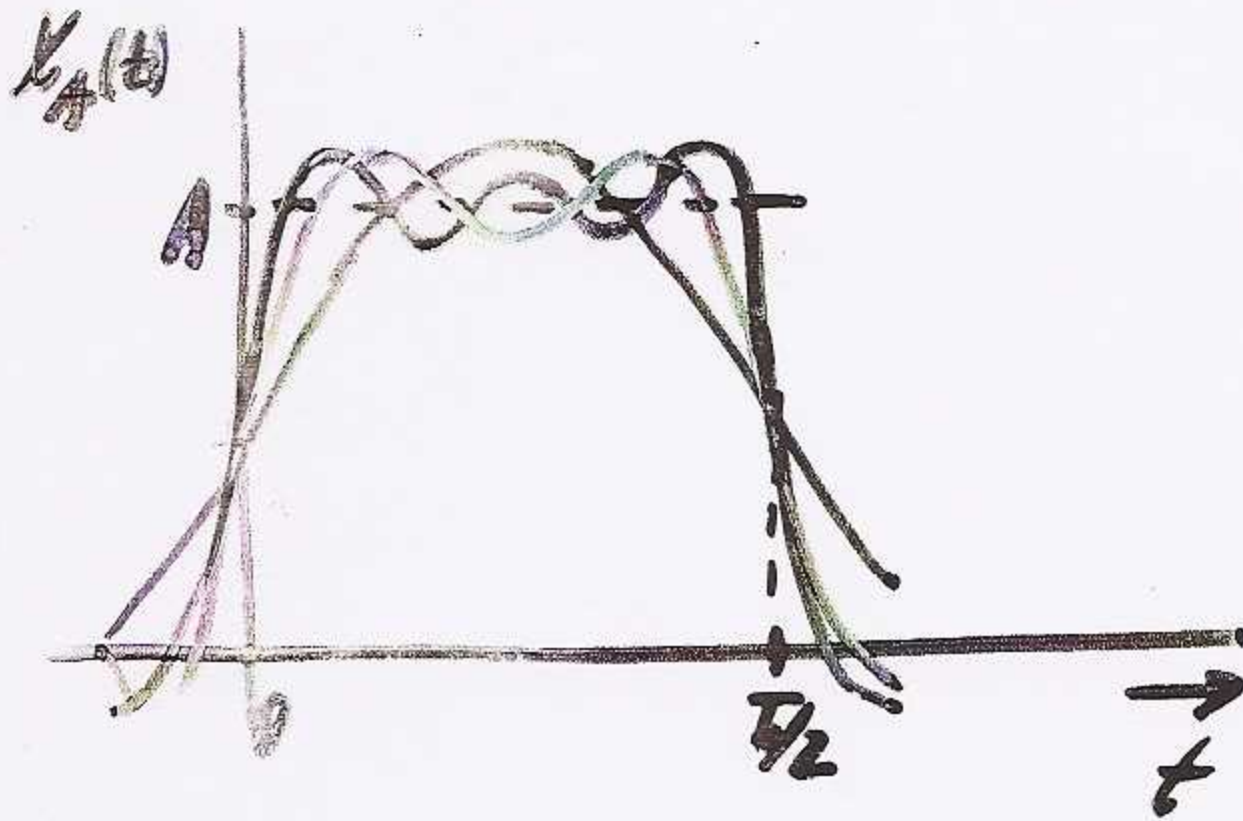
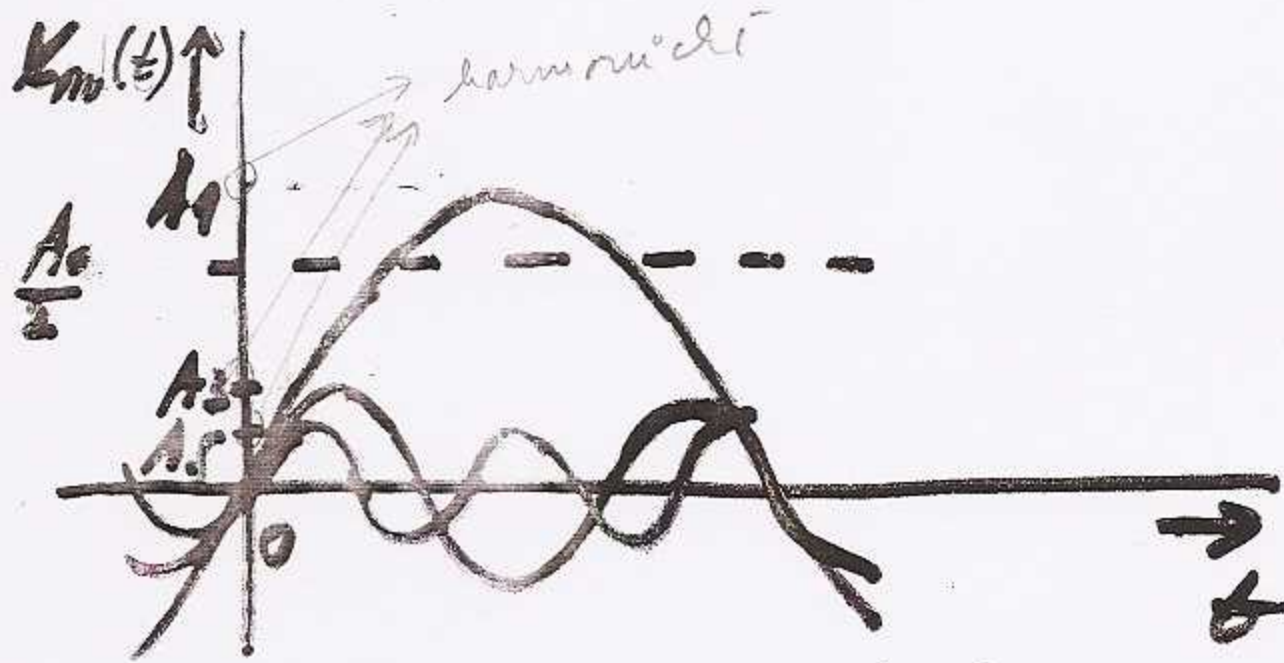
PREDMET:

ROČNÍK:

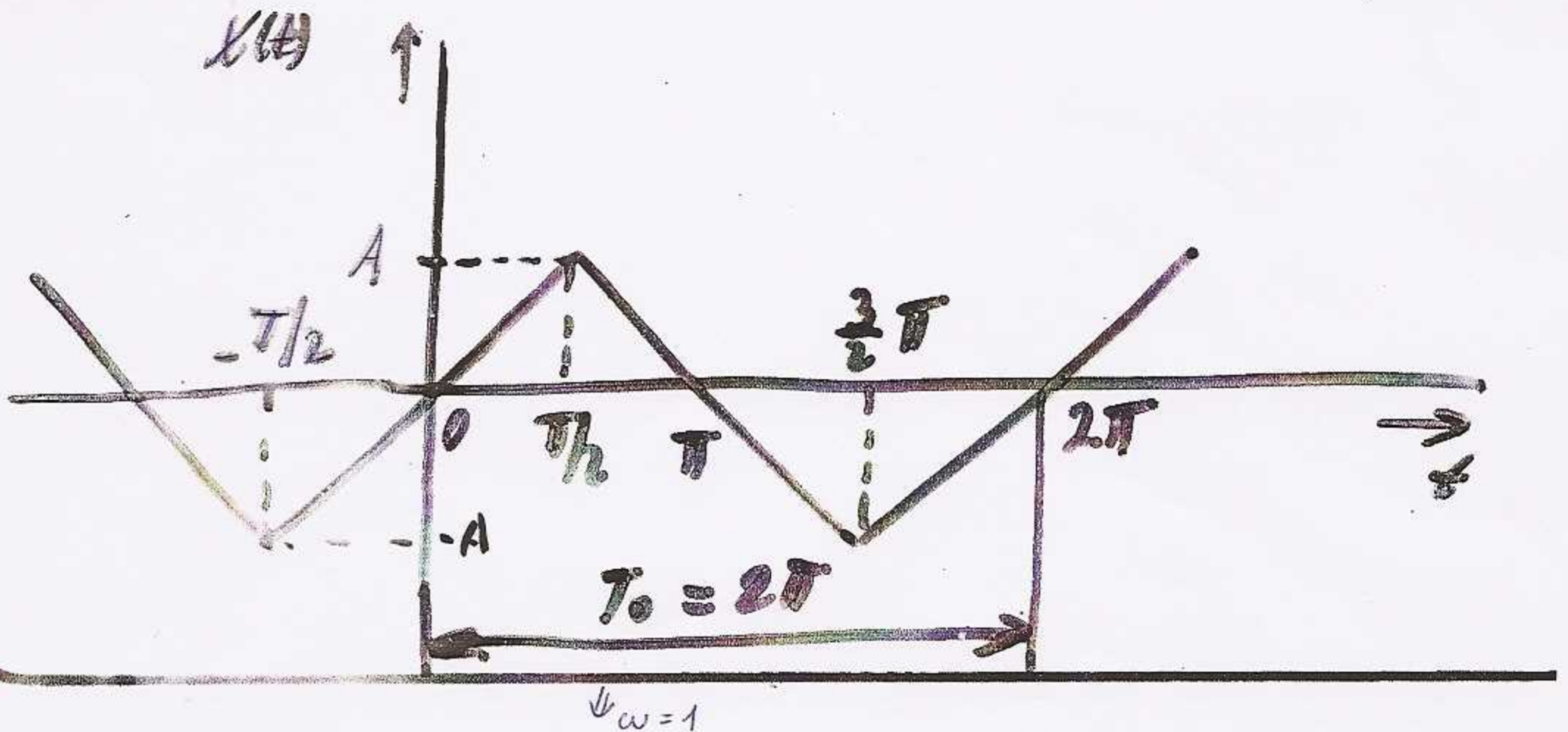
ČÍSLO:

ČÍSLO ZLOŽKY

			3
--	--	--	---



Pr. 3



NÁZOV:

PREDMET:

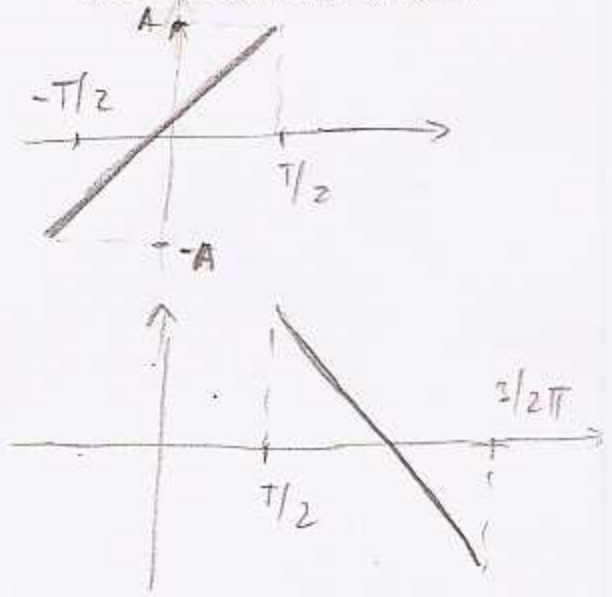
ROČNÍK:

ČÍSLO:

ČÍSLO ZLOŽKY

			4
--	--	--	---

$$x(t) = \begin{cases} \frac{2A}{T} t; & t \in (-\pi/2; \pi/2) \\ \frac{2A}{T} (T-t); & t \in (\pi/2; 3\pi/2) \end{cases}$$



$$T_0 = 2T \rightarrow \omega_1 = 1$$

$$x(t) = a_0 + \sum_{n=1}^{\infty} a_n \cos n \omega_1 t + \sum_{n=1}^{\infty} b_n \sin n \omega_1 t$$

$$T \rightarrow \left(-\frac{\pi}{2}; \frac{3\pi}{2}\right)$$

$$a_0 = \frac{2}{T} \int_{-\pi/2}^{3\pi/2} x(t) dt = 0$$

$x(t)$ nepárna

$$a_n = \frac{1}{\pi} \left\{ \int_{-\pi/2}^{\pi/2} \frac{2A}{T} t \cos n t dt + \int_{\pi/2}^{3\pi/2} \frac{2A}{T} (T-t) \cos n t dt \right\} = 0$$

NÁZOV:

PREDMET:

ROČNÍK:

ČÍSLO:

ČÍSLO ZLOŽKY

			5
--	--	--	---

$$b_n = \frac{1}{\pi} \int_{-\pi/2}^{\pi/2} \frac{2A}{\pi} t \sin nt dt + \frac{1}{\pi} \int_{\pi/2}^{3\pi/2} \frac{2A}{\pi} (\pi - t) \sin nt dt =$$

$$= \frac{8A}{\pi^2 n^2} \sin n \frac{\pi}{2} \Rightarrow b_n = 0 \text{ pre } n \text{ párne}$$

$$u(t) = \frac{8A}{\pi^2} \sin t - \frac{8A}{9\pi^2} \sin 3t + \frac{8A}{25\pi^2} \sin 5t - \dots$$

$$\varphi_n = 0; \text{ resp. } \pi$$

Výkonové spektrum

$$L(t) \Rightarrow u(t), i(t)$$

$$p = u \cdot i$$

$$p = Ri^2 = u^2/R$$

$$R = 1 \Rightarrow p = i^2 = u^2$$

$$P_s = \frac{1}{T_0} \int_{-\frac{T_0}{2}}^{\frac{T_0}{2}} |x(t)|^2 dt$$

střední výkon
periodického signálu

$$P_s = \frac{1}{T_0} \int_{-\frac{T_0}{2}}^{\frac{T_0}{2}} x(t) \sum_{n=-\infty}^{\infty} C_n e^{jn\omega_0 t} dt$$

$$P_s = \sum_{n=-\infty}^{\infty} C_n \underbrace{\frac{1}{T_0} \int_{-\frac{T_0}{2}}^{\frac{T_0}{2}} x(t) e^{jn\omega_0 t} dt}_{\bar{C}_n}$$

$$P_s = \sum_{n=-\infty}^{\infty} C_n \bar{C}_n = \sum_{n=-\infty}^{\infty} |C_n|^2$$

$$|\bar{C}_n|^2 = |C_n|^2$$

$$C_0 = A_0$$

$$2|C_n| = A_n$$

$$P_s = C_0^2 + \sum_{n=1}^{\infty} 2|C_n|^2 = C_0^2 + \sum_{n=1}^{\infty} 2|C_n| \cdot |C_n| \cdot \frac{1}{2} = A_0^2 + \sum_{n=1}^{\infty} \frac{1}{2} A_n^2 =$$

$$= A_0^2 + \sum_{n=1}^{\infty} A_n^2$$

$$A_{\text{ef}} = \frac{A_0}{\sqrt{2}}$$

NÁZOV:

PREDMET:

ROČNÍK:

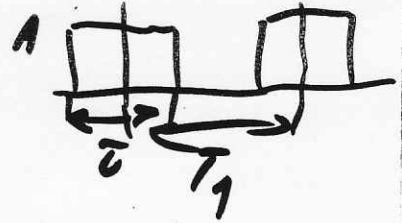
ČÍSLO:

ČÍSLO ZLOŽKY

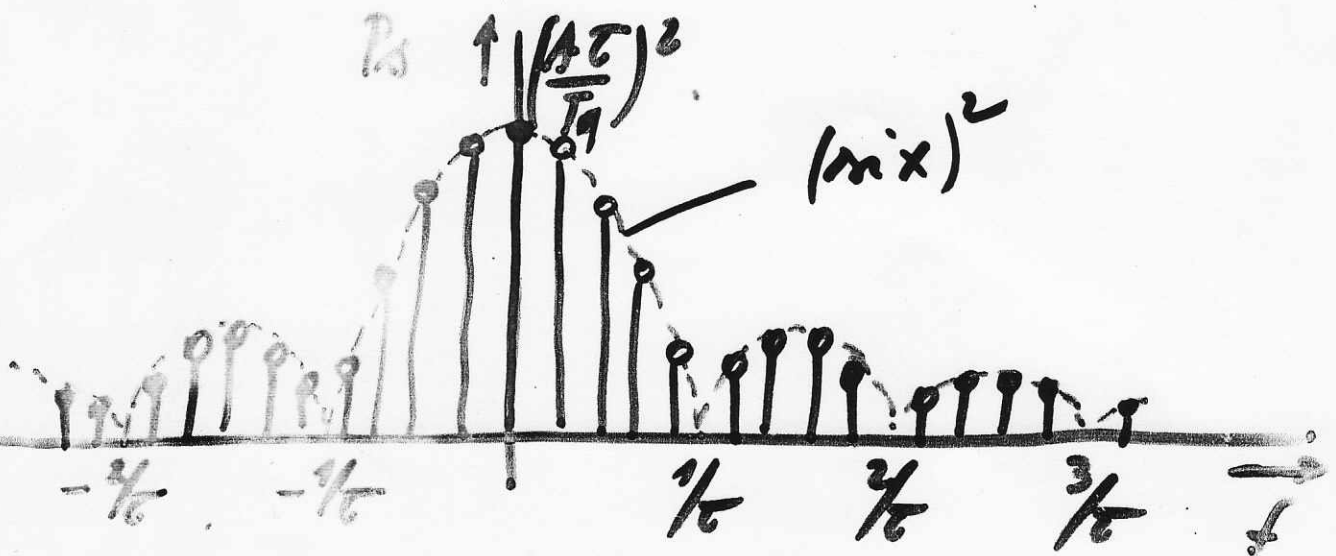
				7
--	--	--	--	---

Pre Pr. 1
 $\tau = \tau/2$

$$P_s = \frac{1}{T_A} \int_{-\tau/2}^{\tau/2} |x(t)|^2 dt = \sum_{n=-\infty}^{\infty} |C_n|^2$$



$$P_s = \sum_{n=-\infty}^{\infty} |C_n|^2 = \left(\frac{A\tau}{T_A} \right)^2 \sum_{n=-\infty}^{\infty} \left[\text{sinc} \left(\frac{n\pi\tau}{T_A} \right) \right]^2$$



Pr.

z Pr. 1 $\tau = T_A/2$

$$A_m \geq 0,2 A_A$$

$$\frac{A_m}{A_A} = \frac{A}{A} \cdot \frac{T}{A} = \frac{1}{m} = 0,2 \Rightarrow m = 5$$

NÁZOV:

PŘEDMET:

ROČNÍK:

ČÍSLO:

ČÍSLO ZLOŽKY

			8
--	--	--	---

f_1, f_3, f_5 a jednom. ω .

$$P_{sp} = \frac{A^2}{4} + \frac{1}{2} \left(\frac{2A}{3} \right)^2 + \frac{1}{2} \left(\frac{2A}{3\sqrt{3}} \right)^2 + \frac{1}{2} \left(\frac{2A}{5\sqrt{5}} \right)^2 = 0,48 A^2$$

$$A_0 = \frac{AT}{T_1} = \frac{A}{2}$$

$$A_n = 2 \frac{AT}{T_1} \left| \sin \frac{n\pi T}{T_1} \right| = 2 \frac{AT_1}{2T_1} \frac{\sin n\pi \frac{T}{T_1}}{n\pi \frac{T}{2T_1}} = \frac{2A}{n\pi} \left| \sin n\pi \frac{T}{2} \right|$$

$n = 1, 3, 5$

$$P_s = \frac{1}{T_1} \int_{-T/2}^{T/2} A^2 dt = \frac{A^2}{T_1} [t]_{-T/2}^{T/2} = 0,5 A^2$$

$$x_p(t) = A_0 + \sum_{n=1}^5 A_n \sin n\omega_1 t$$

$$A_0 = 0,5A$$

$$x_1(t) = 0,64A \sin \omega_1 t$$

$$x_2(t) = 0$$

$$x_3(t) = 0,4A \sin 3\omega_1 t$$

$$x_4(t) = 0$$

$$x_5(t) = 0,13A \sin 5\omega_1 t$$

Neperiodické signály (jednovákové)

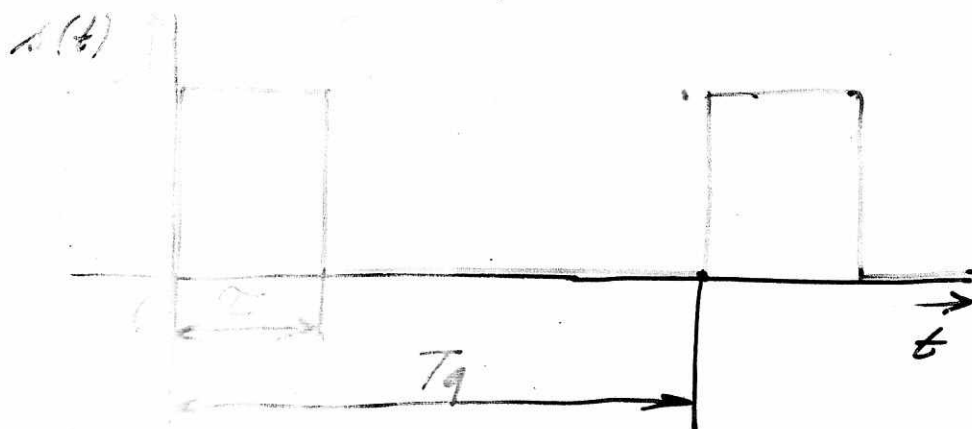
		18
--	--	----

$$s(t) = s(t + nT_q) \quad \text{neplatí}$$

pro $t \in (-\infty; \infty)$

$$\int_{-\infty}^{\infty} |s(t)|^2 dt < \infty$$

je absolutně integrovatelné
a vyhovuje Dir. podm.



$$s(t) = \sum_{-\infty}^{\infty} C_n e^{jn\omega_q t}$$

exponenciální funkce

$$C_n = \frac{1}{T_q} \int_{-\frac{T_q}{2}}^{\frac{T_q}{2}} s(t) e^{-jn\omega_q t} dt$$

NÁZOV:

PREDMET:

ROČNÍK:

ČÍSLO:

ČÍSLO ZLOŽKY

		19
--	--	----



$$T_q \rightarrow \infty \rightarrow \omega_q \text{ male' } \quad \omega_q \rightarrow 0$$

$$\Delta\omega = (n+1)\omega_q - n\omega_q = \omega_q$$

$$n\omega_q = \omega_n$$

$$C_n = C(\omega_n) = \frac{1}{T_q} \int_{-\frac{T_q}{2}}^{\frac{T_q}{2}} s(t) e^{-j\omega_n t} dt$$

$$T_q \rightarrow \infty \quad \omega_n = \omega; \quad \Delta\omega = d\omega$$

$$T_q = \frac{2\pi}{\omega_q} = \frac{2\pi}{\Delta\omega} = \frac{2\pi}{d\omega}$$

$$\sum \rightarrow \int$$

$$s(t) = \frac{1}{2\pi} \int_{-\infty}^{\infty} e^{j\omega t} \left[\int_{-\infty}^{\infty} s(t) e^{-j\omega t} dt \right] d\omega$$

a)
$$s(t) = \int_{-\infty}^{\infty} S(\omega) e^{j\omega t} d\omega$$

$$S(\omega) = \frac{1}{2\pi} \int_{-\infty}^{\infty} s(t) e^{-j\omega t} dt$$

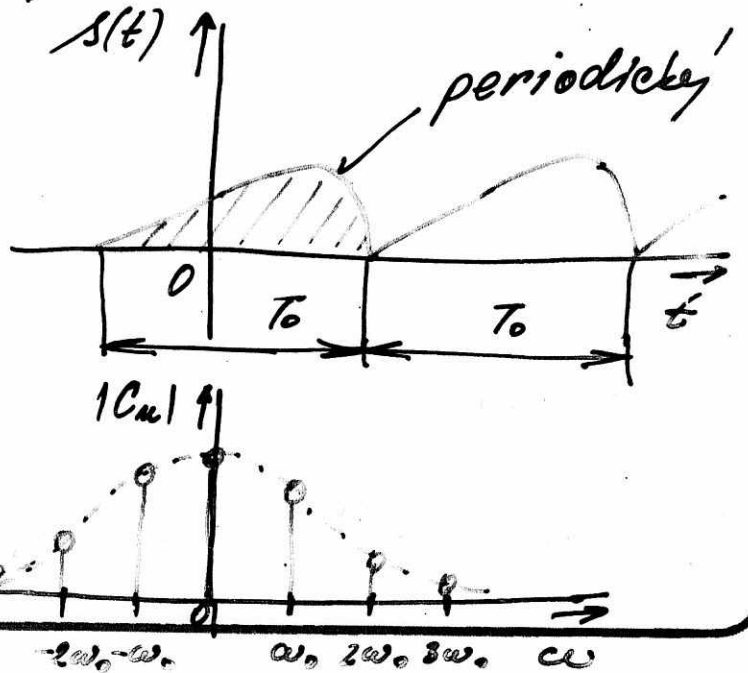
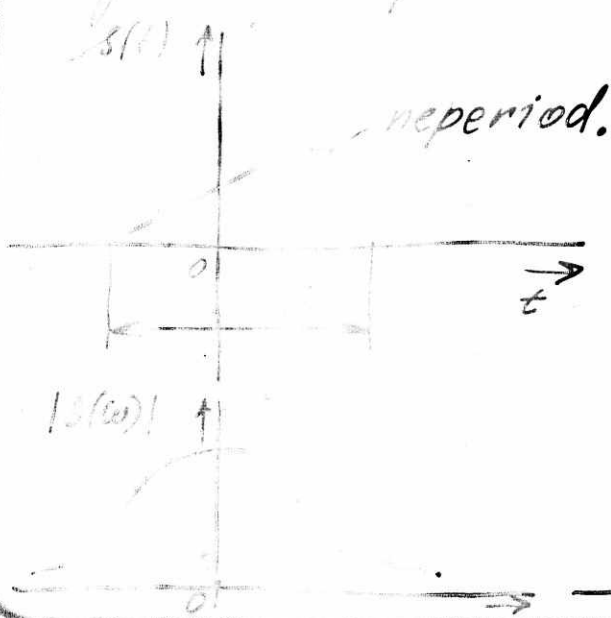
b)
$$s(t) = \frac{1}{2\pi} \int_{-\infty}^{\infty} S(\omega) e^{j\omega t} d\omega$$

$$S(\omega) = \int_{-\infty}^{\infty} s(t) e^{-j\omega t} dt$$

$$S(\omega) = A(\omega) + jB(\omega) = |S(\omega)| e^{j\varphi(\omega)}$$

$|S(\omega)|$ – spektrálna hustota amplitúd

$\arg(S(\omega))$ – fázové spektrum



2.6 Continuous spectrum

The significance of this final result is that any single pulse or transient can be expressed as the sum of an infinite number of frequency components $F(\omega)$ where ω is any general value.

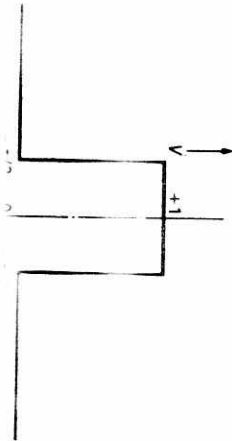
This leads to a *continuous spectrum* in contrast to the discrete spectrum of the periodic waveform. In physical terms, the frequency components are all crowded very close to one another because the spacing between them is $1/T$ which tends to zero as $T \rightarrow \infty$.

In general, $F(\omega)$ is complex and its amplitude and phase can be plotted to give the frequency spectrum of the time function $f(t)$. An example of this is shown in the next section for a single rectangular pulse centred at $t = 0$.

The quantity $|F(\omega)|$, when plotted, shows a variation of amplitude against ω and so the quantity $|F(\omega)|d\omega$ represents an elementary area of this graph, within a range $d\omega$, and is called the *spectral density*.

2.7 Typical functions

(a) Rectangular pulse A



$$f(t) = 1 \quad \text{when} \quad -\frac{1}{2} < t < +\frac{1}{2}$$

$f(t) = 0$ at all other instances

Hence

$$F(\omega) = \frac{2}{\omega} \sin\left(\frac{\omega\tau}{2}\right) = \tau \frac{\sin(\omega\tau/2)}{\omega\tau/2}$$

or

$$F(\omega) = \tau \frac{\sin x}{x} \quad \text{where} \quad x = \frac{\omega\tau}{2}$$

with

$$\frac{F(\omega)}{\tau} = \frac{\sin x}{x}$$

A plot of $F(\omega)/\tau$ is the familiar $(\sin x)/x$ curve and is shown in Fig. 2.21. It is a *continuous curve* and is symmetrical in x , i.e. its value is unchanged when x becomes negative.

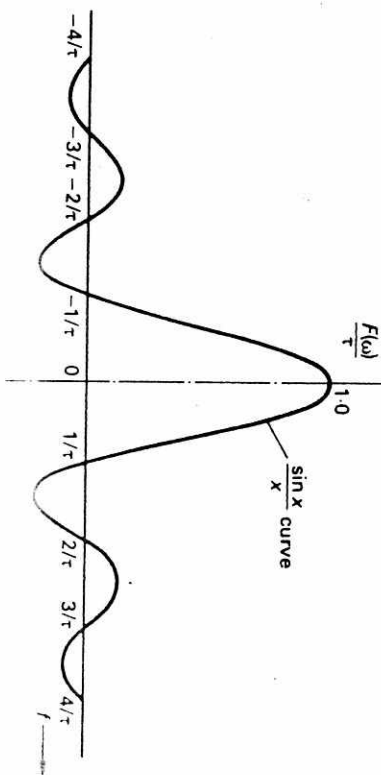


Fig. 2.21 Continuous spectrum

Alternatively, the amplitude and phase can be found separately as follows:

2. The zeros occur when $\frac{\sin x}{x} = 0$.

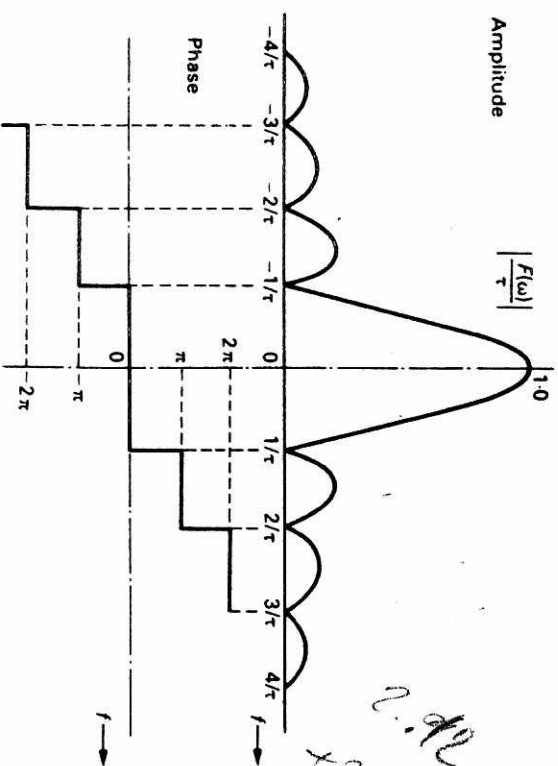


Fig. 2.22

3. The phase shifts by π radians when the graph changes polarity from positive to negative or vice versa.

(b) Rectangular pulse B

$$-j\omega \int_0^{\infty} e^{-j\omega t} dt = -j\omega \int_0^{\infty} 1 dt = -j\omega \cdot \infty = -\infty$$

Hence

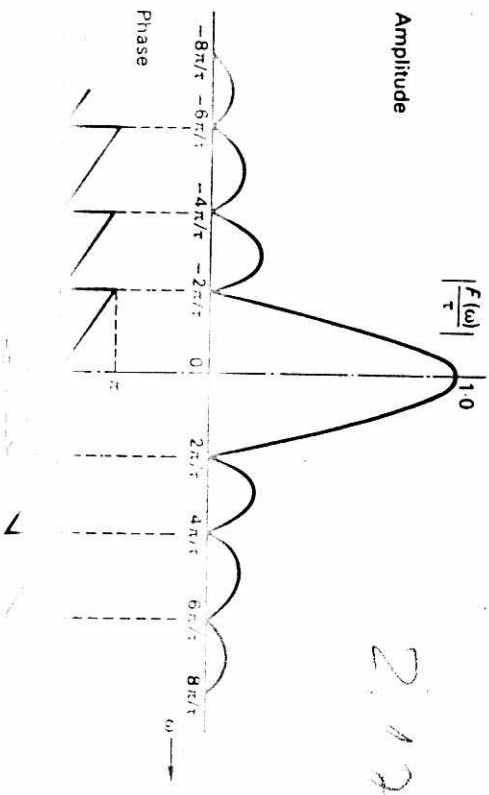
$$F(\omega) = \frac{2e^{-j\omega t/2}}{\omega} \left(\frac{e^{j\omega t/2} - e^{-j\omega t/2}}{2j} \right) = \tau e^{-j\omega t/2} \frac{\sin(\omega\tau/2)}{\omega\tau/2}$$

$$= \tau \frac{\sin x}{x} e^{-jx} \quad \text{where } x = \frac{\omega\tau}{2}$$

or

$$F(\omega) = \frac{\sin x}{x} e^{-jx}$$

The amplitude and phase are plotted in Fig. 2.24.



2.12. (b) Rectangular pulse B
 Fourier transform of a rectangular pulse of duration τ and height A is given by
 $F(\omega) = \int_{-\tau/2}^{\tau/2} A e^{-j\omega t} dt = A \int_{-\tau/2}^{\tau/2} e^{-j\omega t} dt = A \left[\frac{e^{-j\omega t}}{-j\omega} \right]_{-\tau/2}^{\tau/2} = \frac{A}{-j\omega} (e^{-j\omega\tau/2} - e^{j\omega\tau/2}) = \frac{A}{-j\omega} (2j \sin(\omega\tau/2)) = \frac{2A \sin(\omega\tau/2)}{\omega}$

* Poun. kst. 2

$$\int \sin ax \, dx = -\frac{1}{a} \cos ax$$

$$b_n = -\frac{2A}{T_0 n \omega_0} \left[\cos n \omega_0 t \right]_0^{T_0/2} =$$

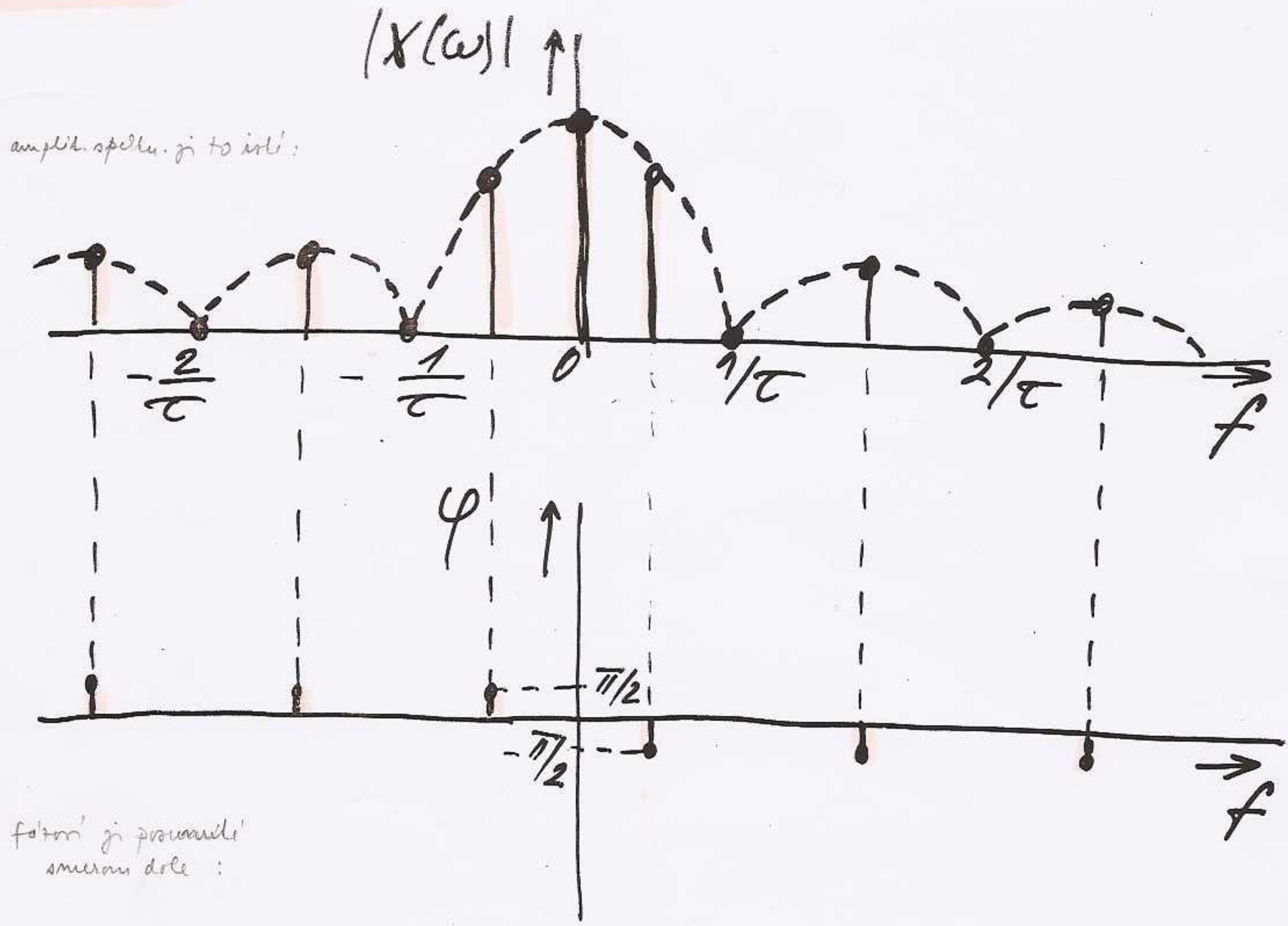
$$= -\frac{2A}{T_0 n \omega_0} \left[\cos n 2\pi f_0 \frac{T_0}{2} - \cos 0 \right] =$$

$$= -\frac{2A}{T_0 n \omega_0} \left[\cos n\pi - 1 \right] =$$

$$= -\frac{2A}{T_0 n 2\pi \frac{T_0}{T_0}} \left[\cos n\pi - 1 \right] =$$

$$= \frac{A}{n\pi} \left[1 - (-1)^n \right]$$

[obr. 2u Pr2]



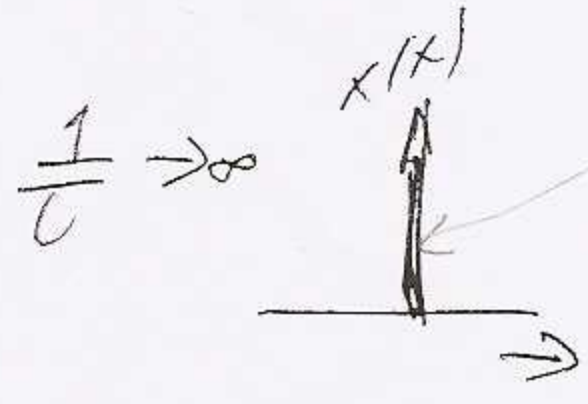
str. 5

Záverky pri kladu

$A\bar{c} = 1$ j. ob. k. v. p. h.

1) $\bar{c} \rightarrow 0$

č. a. n. o. v. e. l.

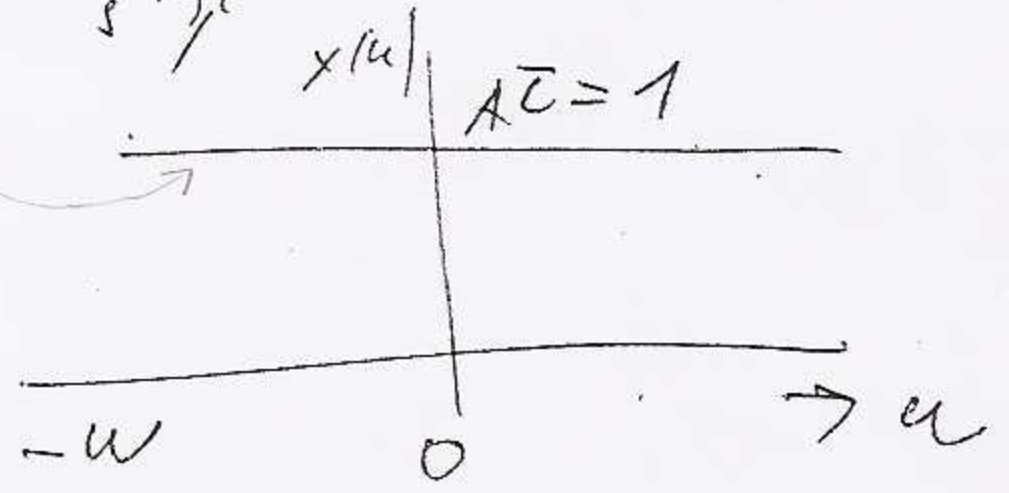


$\frac{1}{c} \rightarrow \infty$

Diracova distribúcia

Rovnomerne rozdelenie

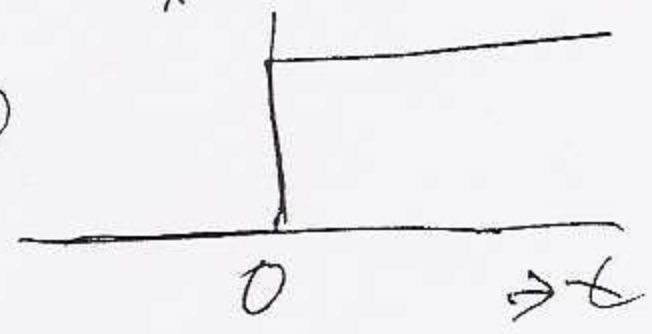
s. p. e. k. t. u. s. / v. e. f. o. r. m. a. t. i. c. e. f. o. r. m. a. t. i. c. e.



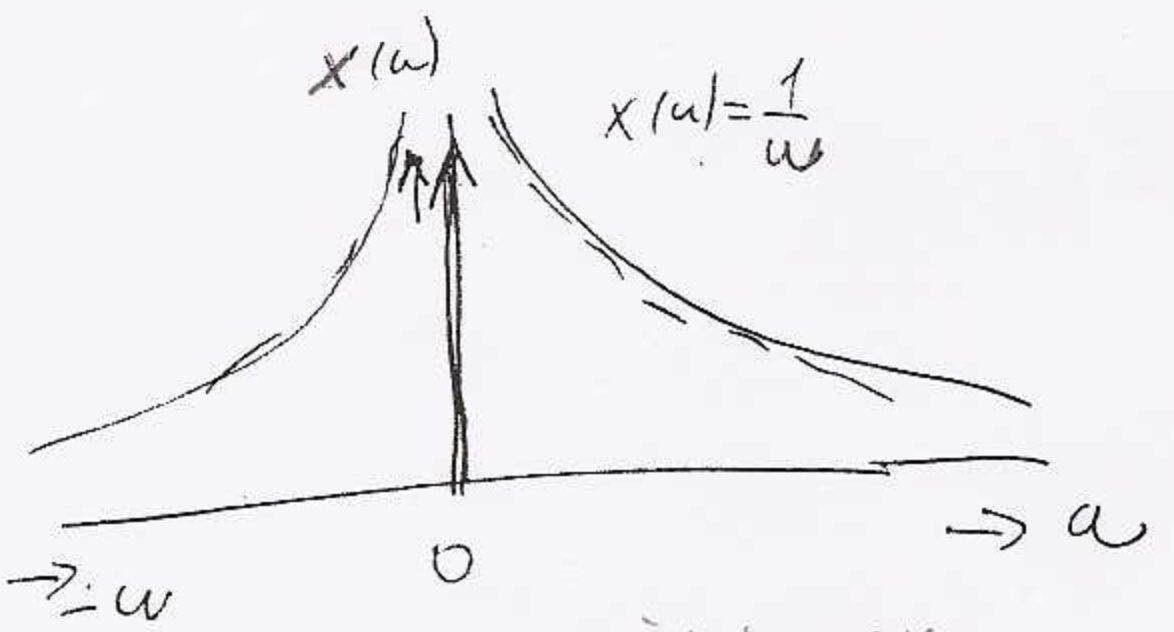
2) $\bar{c} \rightarrow \infty$

x. H. H. A.

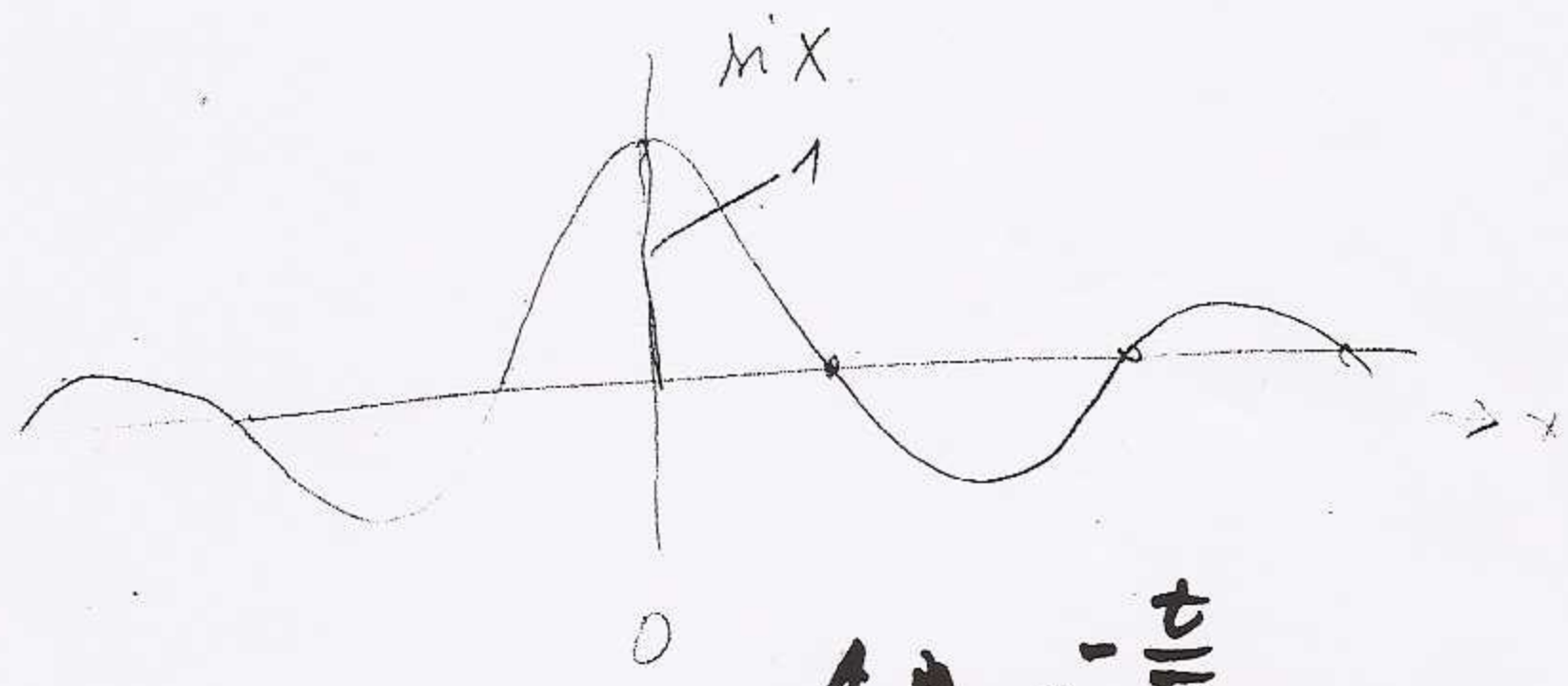
$\frac{1}{c} \rightarrow 0$



jednotlivý štok



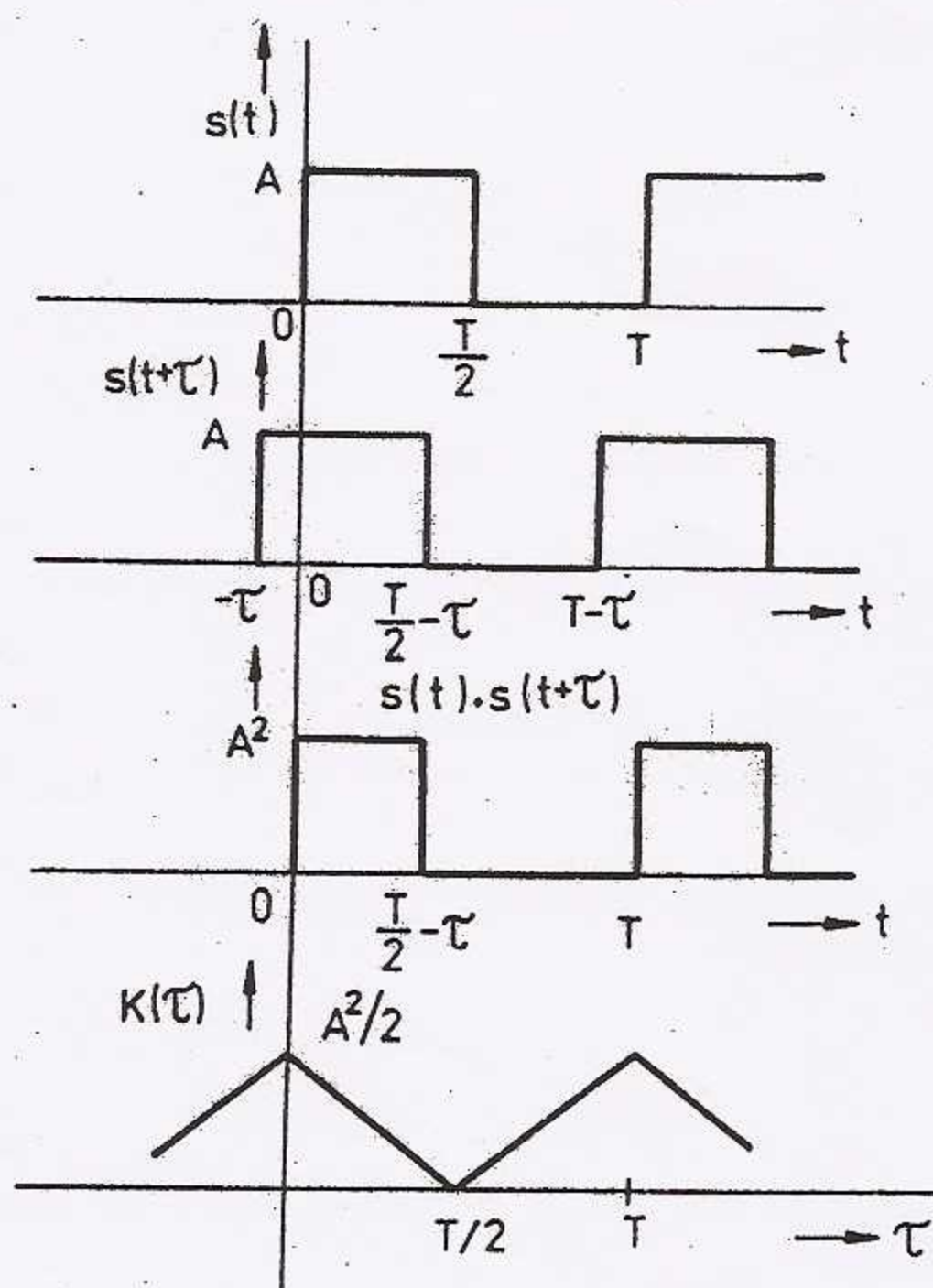
↓ zmenšuje n. o. v. e. l. j. m. r. o. v. i. c. a



Riešenie: Zvolme $0 < \tau < T/2$. Zo vzťahu (2.25) vypočítame autokorelačnú funkciu

$$K(\tau) = \frac{1}{T} \int_{t_1}^{t_1+T} s(t) s(t+\tau) dt = \frac{A^2}{T} \int_0^{\frac{T}{2}-\tau} dt = \frac{A^2}{2} \left(1 - \frac{2\tau}{T}\right)$$

Korelačnú funkciu pre ostatné hodnoty určíme z vlastnosti jej periodickosti. Postup výpočtu hodnôt korelačnej funkcie vidieť na obr. 5



Obr. 5
Tvorba autokorelačnej funkcie periodického signálu

3. Jednorazové impulzy

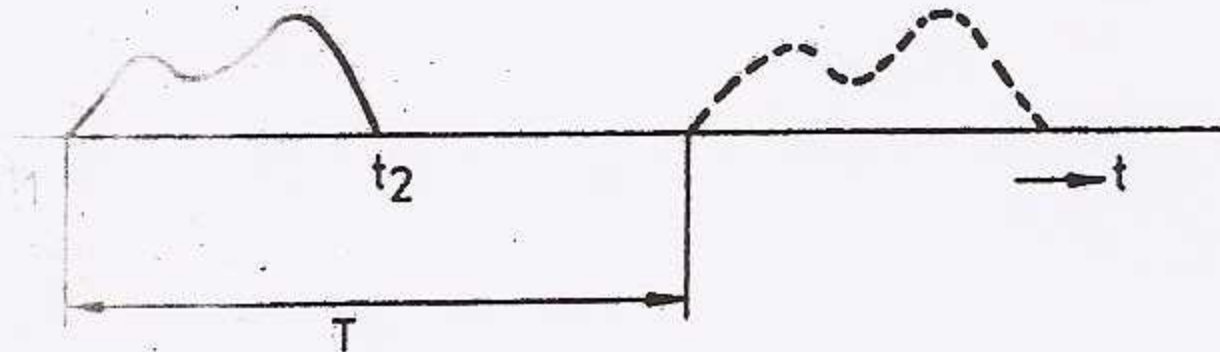
V predchádzajúcej kapitole sme venovali pozornosť periodickým signálom a ich kvantitativnému spektru. Skutočné reálne signály, ktoré sú nositeľom informácie, sú signály neperiodické, spravidla jednorazové. Spektrálne vlastnosti jednorazových impulzov môžeme analyzovať pomocou Fourierovej transformácie, ktorých základné vety a aplikačné pravidlá sú uvedené v tejto kapitole.

3.1 FOURIEROVA TRANSFORMÁCIA

Uvažujme signál $s(t)$, ktorý má nenulovú hodnotu len v časovom intervale $t_1 \leq t \leq t_2$. Nech funkcia $s(t)$ je absolútne integrovateľná, t.j.

$$\int_{-\infty}^{\infty} |s(t)| dt < \infty \quad (3.1)$$

Uvažujme, že signál $s(t)$ spĺňa Dirichletovým podmienkam. Otázka je: akým spôsobom môžeme vyjadriť signál jednorazového impulzu?



Obr. 6
Jednorazový impulz

Uvažujme, že jednorazový impulz z obr. 6 pochádza z periodickej funkcie $s(t)$ (periódy T sú na obr. 6 vyznačené čiarčkovaně), ktorú môžeme vyjadriť Fourierovou sériou v komplexnom tvare podľa vzťahu (2.11)

$$s(t) = \sum_{n=-\infty}^{\infty} c_n e^{jn\omega t} \quad (3.2)$$

$$c_n = \frac{1}{T} \int_{t_1}^{t_2} s(t) e^{-jn\omega t} dt \quad (3.3)$$

o vytvoreného periodického signálu budeme zväčšovať, uhlo-
 bude znižovať ($\omega = 2\pi/T$), t.j. spektrálne čiary sa budú
 ťať a zhutňovať, až v limitnom prípade, keď $T \rightarrow \infty$,
 line čiary vzájomne splynú. Hovoríme, že diskrétno spektrum
stane sa spojité.

proces vo vzťahoch (3.2) a (3.3). Diskrétno kmitočty $n\omega$
 funkciu ω ($n\omega \rightarrow \omega$) a sumácia v rovnici (3.2) prejde na
 integrovanie. Medze integrovanie v rovnici (3.3) treba na-
 hranicami trvania impulzu $\langle t_1, t_2 \rangle$. Ak pri periodickom

signále možno písať

(3.3) do (3.2) a s uvažovaním vykonaných úvah môžeme časovo-
 obrazového impulzu vyjadriť v tvare

$$\int_{-\infty}^{\infty} \frac{2d\omega}{2\pi} \int_{t_1}^{t_2} s(t) e^{-j\omega t} dt e^{j\omega t} \quad (3.4)$$

avedieme označenie

$$\int_{t_1}^{t_2} s(t) e^{-j\omega t} dt \quad (3.5)$$

) nadobudne tvar

$$\int_{-\infty}^{\infty} S(j\omega) e^{j\omega t} d\omega \quad (3.6)$$

ťahov (3.5) a (3.6) dostaneme integrálnu Fourierovu trans-

$$\int_{-\infty}^{\infty} S(j\omega) e^{j\omega t} d\omega \quad (3.7)$$

$$\int_{-\infty}^{\infty} s(t) e^{-j\omega t} dt \quad (3.8)$$

Ak komplexné amplitúdy Fourierovho radu C_{n1} , C_{n2} signálov $s_1(t)$ a $s_2(t)$ vyjadríme podľa vzťahu (2.12) a časovú funkciu $s_2(t)$ vyjadríme Fourierovým radom v komplexnom tvare podľa vzťahu (2.11), potom korelačnú funkciu zo vzťahu (2.23) môžeme upraviť takto:

$$\begin{aligned} K_{12}(\tau) &= \frac{1}{T} \int_{-T/2}^{T/2} s_1(t) \frac{1}{2} \left[\sum_{n=-\infty}^{\infty} C_{n2} e^{jn\omega(t+\tau)} \right] dt = \\ &= \frac{1}{4} \sum_{n=-\infty}^{\infty} \left[C_n e^{jn\omega\tau} \frac{2}{T} \int_{-T/2}^{T/2} s_1(t) e^{jn\omega t} dt \right] = \\ &= \frac{1}{4} \sum_{n=-\infty}^{\infty} C_{n1}^* C_{n2} e^{jn\omega\tau} \end{aligned} \quad (2.24)$$

kde C_{n1}^* je konjugovaná veličina z C_{n1} .

Zo vzťahu (2.23) a (2.24) vyplýva:

- korelačná funkcia dvoch periodických signálov s tou istou periódou T je opäť periodická funkcia s periódou T ,
- korelačná funkcia je párna.

Autokorelačná funkcia je korelačná funkcia toho istého signálu, t.j.

$s_1(t) = s_2(t) = s(t)$ a vyjadruje mieru vzájomnej závislosti medzi hodnotami periodického signálu v tvare

$$K(\tau) = \frac{1}{T} \int_{-T/2}^{T/2} s(t) \cdot s(t + \tau) dt \quad (2.25)$$

Vlastnosti autokorelačnej funkcie sú zhodné s vlastnosťami vzájomnej korelačnej funkcie. Použitím vzťahu (2.24) môžeme autokorelačnú funkciu vyjadriť v tvare

$$K(\tau) = \frac{1}{4} \sum_{n=-\infty}^{\infty} |C_n|^2 e^{jn\omega\tau} \quad (2.26)$$

Autokorelačná funkcia dosahuje maximum v bode $\tau = 0$, kedy

$$K(0) = \frac{1}{4} \sum_{n=-\infty}^{\infty} |C_n|^2 \quad (2.27)$$

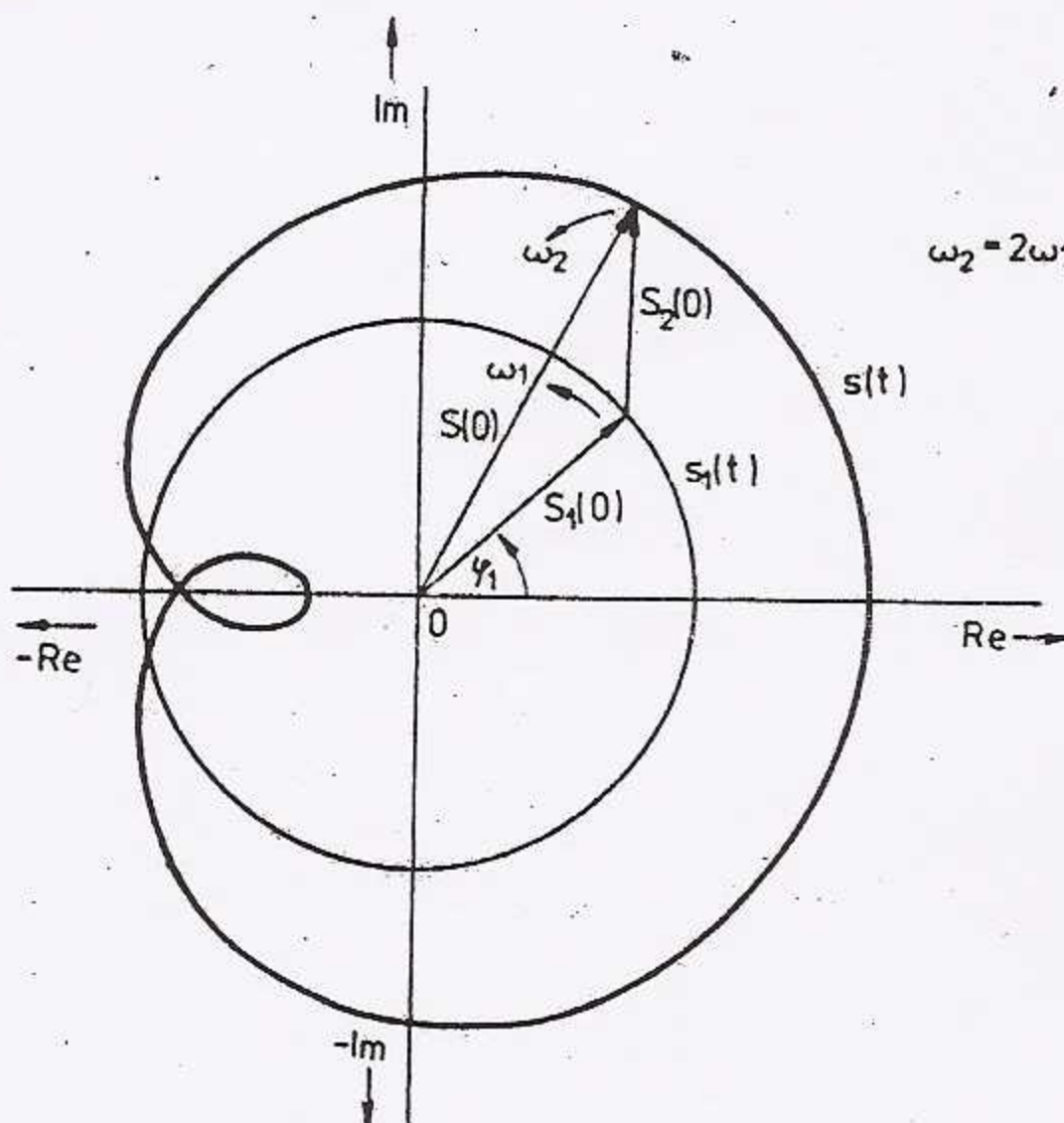
čo predstavuje stredný výkon signálu.

Príklad: Určime priebeh autokorelačnej funkcie pravouhlého periodického signálu z obr. 5a.

tov pôvodných signálov daný vzťahom $\omega_2 = 2\omega_1$. Výsledný signál je periodický, avšak už nie je harmonický. V danom prípade má výsledný signál periodu T_1 . Všeobecne môžeme pomer kmitočtov oboch signálov vyjadriť vzťahom

$$\frac{\omega_1}{\omega_2} = \frac{m_1}{m_2} \quad (2.22)$$

Ak pomer zo vzťahu (2.22) je číslo racionálne, výsledný súčtový signál je periodický. Ak pomer zo vzťahu (2.22) je číslo iracionálne, bude perióda výsledného signálu rásť nad všetky medze. Takýto signál nie je teda periodický, i keď jeho spektrum je čiarové diskkrétne a nazývame ho kváziperiodickým signálom.



Obr. 4
Trajektória koncových bodov súčtu vektorov dvoch harmonických signálov s uhlovými kmitočtami ω_1, ω_2

2.2 KORELAČNÁ FUNKCIA PERIODICKÝCH SIGNÁLOV

Uvažujeme periodické signály $s_1(t)$ a $s_2(t)$ s tou istou periódou T . Vzájomná (krížová) korelačná funkcia týchto signálov vyjadruje vzájomnú závislosť medzi hodnotami oboch periodických funkcií a je určená vzťahom

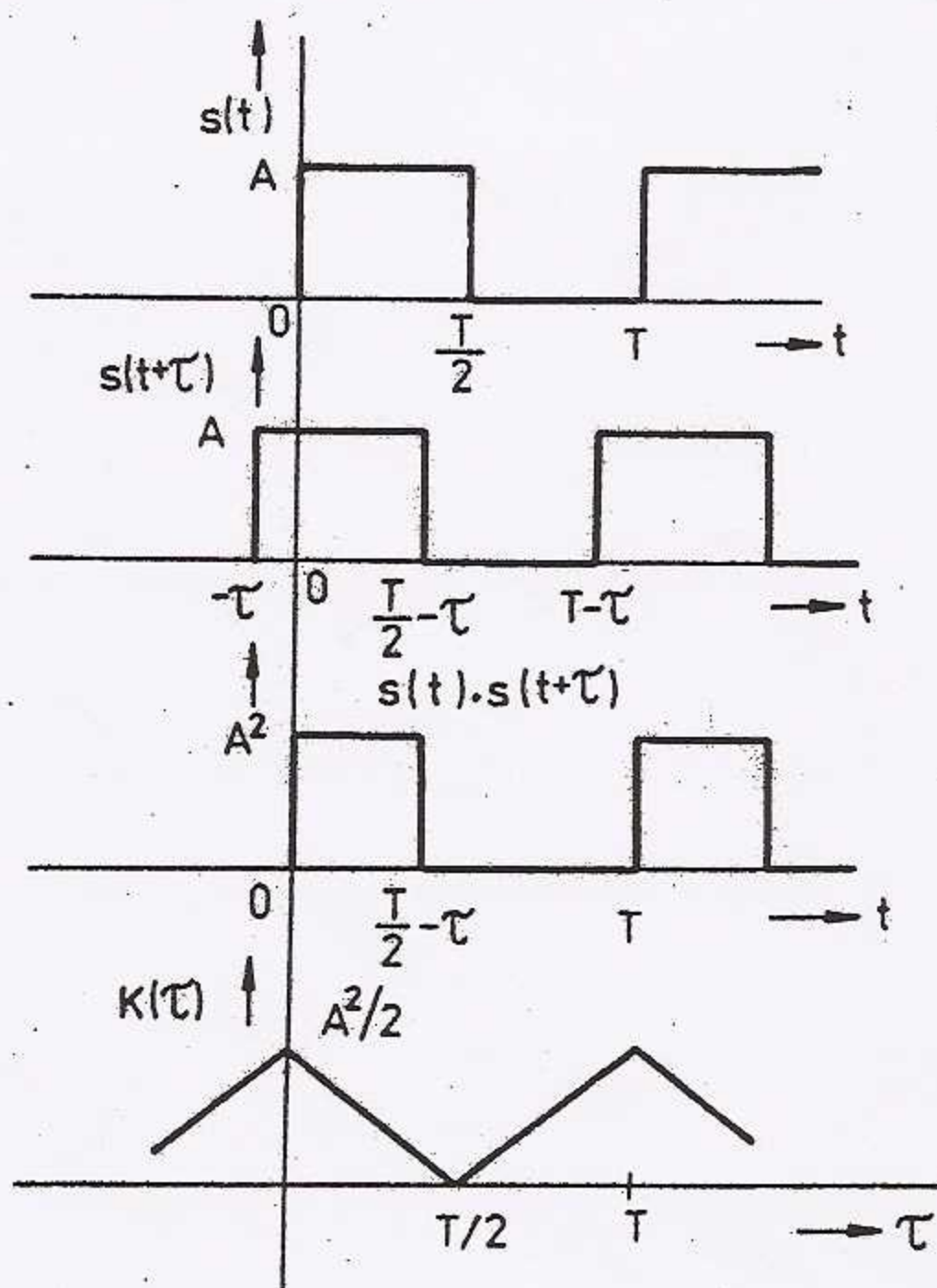
$$K_{12}(\tau) = \frac{1}{T} \int_{-T/2}^{T/2} s_1(t) s_2(t + \tau) dt \quad (2.23)$$

kde $\tau \in (-\infty, \infty)$ vyjadruje časové posunutie signálu $s_2(t)$ voči $s_1(t)$.

Riešenie: Zvolme $0 < \tau < T/2$. Zo vzťahu (2.25) vypočítame autokorelačnú funkciu

$$K(\tau) = \frac{1}{T} \int_{t_1}^{t_1+T} s(t) s(t+\tau) dt = \frac{A^2}{T} \int_0^{\frac{T}{2}-\tau} dt = \frac{A^2}{2} \left(1 - \frac{2\tau}{T} \right)$$

Korelačnú funkciu pre ostatné hodnoty určíme z vlastnosti jej periodickosti. Postup výpočtu hodnôt korelačnej funkcie vidieť na obr. 5



Obr. 5
 Tvorba autokorelačnej funkcie periodického signálu